

PF₃

2568-11

1934

PF₃; PCl₃; PBr₃; AsF₃; AsCl₃;

SbCl₃; BiCl₃ (ω ; τ).

Howard J.B., Wilson E.B., Jr.
J. Chem. Physics 1934, 2,

630-4

"Normal frequencies of vibration
of symmetrical pyramidal molecules
AB₃ with application to the
Raman spectra of trihalides".

40

C.A., 1934, 7160⁴

PF₃

130-1461-III | 1934

(u.s.,
canary)

Vest D.M.,
Anderson T.F.

J. Chem. Phys., 1934,
L, 624-27

15Y7-III

PF₃ (V_i)

1949

Delwaulle M.L., François F.

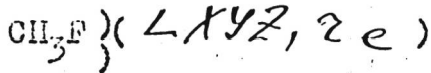
International Colloquium on
Raman Effect, Bordeaux 1948;
J.Chim.phys., 1949, 46, 87-97
(in French)

Raman spectra of phosphorus
trihalides, phosphoryc trihalides,
and thiophosphoryl trihalides

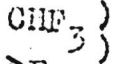
CA., 1950, 44, 10510a

10

1549-11



1949



Gilliam O.R., Edwards H.D., Gordy W.
Phys. Rev., 1949, 75, 1014-1016

microwave investigations of
methyl fluoride, fluoroform, and
phosphorus trifluoride

C.A., 1949, 4141f

10

579-19

1950

NH₃, AsH₃, PF₃, AsF₃ (

)

Burnelle L., Duchesne J.

J. Chem. Phys., 1950, 18, 1300-1

The angle-angle interaction
in the vibration potential function
of pyramidal molecules

C.A., 1951, 101

III - 1101; III - 5064-BP.

c) $(O_2, CO, OCS, N_2O, POF, CH_3F, CD_3F,$
 $NF_3, PSF_3, PF_3)$

1951

Johnston C.M., Trambarulo R., Gordy W.

Phys. Rev., 1951, 84, 1178-80.

"Microwave spectroscopy in the region
from two to three millimeters".

C.A., 1952, 2403a

8cm sp. r. OP

1952

PF₃

W. Gordy

Am. N. Y. Acad. Sci

55, 724 - 88

M. b. cneorum PF₃, NF₃
POF₃, SCN, MCN

CA, 1953 31156.

1550-III

ω (PF₃, POF₃, PF₅)

1952

Gutowsky H.S., Lichir A.D.

J.Chem.Phys. 1952, 20, 1652-3

"Infrared spectra of phosphorus trifluoride, phosphorus oxyfluoride, and phosphorus pentafluoride"

C.A., 1952, 10396g

40

814-III

IB_3 , IB_3^{19} (V), синт. ион. период. дырки. 1952

Wilson Miller, Polo S.R.

J. Chem. Phys., 1952, 20, 1716-

19

The infrared spectra of IB_3 und
 IB_3^{19} .

C.A., 1953, 47391

10

Ботъ ф. к.

5Y6-11

PF₃ (Vimay, Logy) 1953

Bhagavantam S.

Proc. Indian Acad. Sci., 1953, A37,
II, 3, 350-376 (ann.)

Twenty-five years of research
on the Raman effect

PX., 1954, N 3, 14188

10

PF₃

S. Ghosh, R. Traubman ¹⁹⁵³
to

W. Cordy

J. Ch. Phys. 21, 308

M. L. chekmp.

1955

$\text{PF}_3 \text{ и}$
 NH_3

R. S. Mulliken

JAC3. 77 887.

Углы связи в молекулах
типа NH_3 и PF_3 и их
производных.

$\text{PF}_3 < 102^\circ$

PF₃

LBP-10a-IV

1955

(clad. no. 1)

Venkateswarlu K, et al
Res. Notes., pp-1803.

1955

PF₃

Надомитский А.Е.

Успехи химии 1955, 24, 430

Радиоспектральное из
учреждение Монекур (однор,
около 130 см³/сек) излучаю-
щее генерируя свет. Свеча
и изменяющее расстояни-



авт СО.

1956

PF₃

Venkateswaran K., Sundaram S.
Proc. Phys. Soc. A69, N2, 180-83

Определение способов нанесения
из гашеных на стекло пленок
Равиас

аке M₃

Препр. VII

1956.

PF_3

Dunlap J.L.

1959

POF_3

Diss. Abs., 1959, 20, 1398-1399

Use of u.k. comp bond moments
u Bond moments derivatives
for PF_3 & POF_3 .

CCP

51

1960

4400

PF_3

J. Sobhanadri

11900

(cm^{-1})
 PCl_3) III

Dipole moments and ionic character for PCl_3 , PF_3 , and NF_3 .

"Proc. Natl. Inst. Sci. India A,
A. 26, 110 (1960)

C.A. 1961, 55, 1.
27 ref.

1961

III - 1548PF₃PCl₃POF₃POCl₃Cod. nos 66.

Force fields of some halides and oxyhalides of phosphorus and determination of polar moments and effective charges of ligands of POCl₃. Lucien Doyennette (Lab. Infrarouge, Paris). *J. Chim. Phys.* 58, 487-94(1961). Force consts. are calcd. for PF₃, PCl₃, POF₃, and POCl₃, in the gaseous state, by using the vibrational spectrum. Frequency assignments are made. The polar moment of POCl₃ is 3.5 D. The results are quite different from those obtained by Gutowski and Liehr (*CA* 46, 10896g).

Jean A. Goffart

C.A. 1963. 58 · 6

5169ab

12B54. Силовые постоянные галогенидов и оксигалогенидов фосфора, дипольный момент и эффективный заряд связей в молекуле хлорокиси фосфора. Doyen-Lucien. Etude du champ de force de quelques halogénures et oxyhalogénures de phosphore et détermination des moments dipolaires et des charges effectives des liaisons de la molécule d'oxychlorure de phosphore. «J. chim. phys. et phys.-chim. biol.», 1961, 58, № 5, 487—494 (франц.).—На основе ИК-спектров газообразных молекул PX_3 и OPX_3 ($X = \text{F}, \text{Cl}$) рассчитан набор силовых постоянных (f_{ij}). Вычисления производились стандартным методом с использованием координат симметрии. Полученные значения f_{ij} существенно отличаются от ранее известных результатов Гуттowsкого и Лира (Guttowsky H. S., Liehr A. D. «J. Chem. Phys.», 1952, 20, 1652). Анализируются причины расхождений. Определены также дипольные моменты $l(\mu)$ и эффективные заряды связей ($\epsilon \equiv \partial\mu/\partial R$) в молекуле POCl_3 : $\mu_{\text{P}-\text{O}} = 5,6$,

$\mu_{\text{P}-\text{Cl}} = 1,7$ ед. Дебая; $\epsilon_{\text{P}-\text{O}} = 3,5$, $\epsilon_{\text{P}-\text{Cl}} = 3,2$ ед.

Дебая/Å; векторное сложение приводит к $M = 3,5$ ед. Дебая (опытное значение 2,5 ед. Дебая для молекулы в жидкком состоянии). В. Быховский.

• ^3
OPX₃

X = F, Cl

Син. ког.

PF₃

б. 1961. 12

154/8

154/1

45

PF
PF⁺

Douglas A.B., Frackowiak M., 1962
Canad. J. Phys., 1962, 40, 87, 832

Электронный спектр PF и PF⁺.

Получен в парах PF₃, спектр состоит
с общими переходами. Состоит
PF и 1 нейтр. PF⁺.

$^3\Sigma$ PF $\omega_e = 846,75 \text{ cm}^{-1}$, $B_e = 0,5665 \text{ cm}^{-1}$, $r_e = 1,530 \text{\AA}$

	T_e	$\omega_e PF$	$\omega_e \times e$	b_e	λ	z_e
$g^1\pi$	W + 44544.80			0.6486	$\sqrt{0.0052}$	
$d^1\pi$	W + 28712.14	(~413) ^a		0.4848	$\sqrt{0.0045}$	
$f^1\Sigma$	W + 6263.50	866.14	4.51	0.5725	$\sqrt{0.00467}$	
$a^1\Delta$	W	858.79	4.438 ^c	0.5692	$\sqrt{0.0037}$	
$B^3\Pi_2$	29623.06	(436) ^a		0.4693	$\sqrt{0.0038}$	
$B^3\Pi_1$	29481.60	(436) ^a		0.4663	$\sqrt{0.0040}$	
$B^3\Pi_0$	29338.68	(436) ^a		0.4632	$\sqrt{0.00456}$	
$X^3\Sigma$	0.	846.75	4.489 ^d	0.5665	$\sqrt{1.5896}$	
		PF+				
2Σ	35434.64	619.00	4.615	0.5593	$\sqrt{0.0079}$	
2π	0.	1053.25	5.047	0.6360	$\sqrt{0.0048}$	1.5833

PF_3

ВФ-5635-III

1963

Справочник

Ж1 Д63 Д. Дифракция электронов в газах и структура молекул PF_3 , PF_5 , HNF_2 и N_2F_4 . Hersch Oral Louis e. Electron diffraction by gases and the structures of PF_3 , PF_5 , HNF_2 and N_2F_4 . Doct. diss. Univ. Michigan. 1963, 80 pp. Ref. «Dissert. Abstrs», 1963, 24, № 6, 2286 (англ.)

Методом электронной дифракции исследована конфигурация молекул PF_3 , PF_5 , HNF_2 и N_2F_2 в газовой фазе. Приведены значения структурных параметров для этих молекул.

95. 1965. 12

III-3082

1963

III-3901

PH_3 ; PD_3 ; AsH_3 ; AsD_3 ; SbH_3 ; PF_3 ;
 PCl_3 ; NH_3 (str., V;)

Humphries C.M., Walsh A.D.,
Warsop P.A.

Disc. Faraday Soc., 1963, N 35, 148-157

Absorption spectra of the ...

J

1963

III - 2965 - 89

PF₃, PCl₃,
PBr₃, PI₃,
AsCl₃,
SbCl₃,

and ways

(6)

Calculation of Urey-Bradley potential constants. III. Pyramidal XY₃ molecules. E. Meisingseth (Norges Tek. Hoegskole, Trondheim, Norway). *Acta Chem. Scand.* 17, 509-12(1963)(in English); cf. *ibid.*, 16, 778(1962); *CA* 58, 1918a. Urey-Bradley force consts. were calcd. for some pyramidal XY₃ mols. with C_{3v} symmetry. The potential function is the same as that for planar XY₃. The force consts. (K, H, F, F') in millidynes/A. are: PF₃ 3.910, 0.296, 0.935, -0.813; PCl₃, 1.680, -0.212, 0.743, -0.420; PBr₃, 1.436, -0.142, 0.522, -0.313; PI₃, 1.031, -0.080, 0.338, -0.214; AsCl₃, 1.126, -0.116, 0.792, -0.208; SbCl₃, 0.451, 0.045, 0.770, -0.416. The neg. values of F' indicate that the forces between the non-bonded atoms are repulsive. The values of K, KY stretching consts., vary systematically through the halogens, increasing from I to F. For SbCl₃, the assumption previously made that a force const. for a bonded atom pair is greater than a force const. for a non-bonded atom pair, is not valid, since F > K.

Martin Allen

C.A. 1963-59-3

2281gh

PF_3

1964

5 Д139. Средние амплитуды колебаний. Термодинамические функции некоторых тригалоидпроизводных элементов V группы. Нагагајан Г. Mean amplitudes of vibration and thermodynamic functions in some group 5 trihalides. «Indian J. Pure and Appl. Phys.», 1964, 2, № 8, 237—241 (англ.)

т. ф.,

Методом Сювина вычислены при 0 и 298°K средние амплитуды колебаний для молекул NF_3 , PF_3 , PB_3 , PJ_2 , AsBr_3 , AsJ_3 , относящихся к точечной группе симметрии C_{3v} . При комнатной т-ре средние амплитуды колебаний расстояний как между связанными, так и между несвязанными атомами возрастают при переходе от низших членов ряда галогенов к высшим ($F \rightarrow J$) для случая P и As. Для ряда т-р в интервале $50\text{--}2000^{\circ}\text{K}$ для всех исследованных молекул вычислены термодинамич. ф-ции (энталпия, свободная энергия, энтропия, теплоемкость), а также моменты инерции.

Н. Чумаевский

(см. также NF_3) III



ф. 1965. 59

BH₂, CH₂, Si H₂, NH₂, PH₂, H₂O A516, 4371
H₂S, CO₂, CS₂, NO₂, SO₂, ClO₂, NF₂, XeF₂,
HCO, NH₀, HSICl, HSiBr, NH₃, PF₃, 1964
PCl₃, HCOH, CO₂Cl, COSCl, C₂N₂, C₂H₂
(Синтез кристаллов и изуч. свой.)

Walsh A.D.,

Ann Rept. Progr. Chem. (Chem. Soc.
London), 1964, 61, 8-26 658ccr
6ap ccr.

60

CA66

PF₃

W - 3980

1965

PCl₃

Cheung

Con. W.S.

Millimeter wave spectrum of PF₃ and PCl₃ and force constants determination. Anna M. Mirri, Flavio Scappini, and Paolo G. Favero (Univ. Padua, Italy). *Spectrochim. Acta* 21(5), 965-71 (1965) (Eng). First-order centrifugal distortion consts. of PCl₃ and PF₃ were obtained from mm. rotational spectra. Their values in kMc. are $D_J = 1.17 \pm 0.01$, $D_{JK} = -1.879 \pm 0.008$ for PCl₃; $D_J = 7.845 \pm 0.045$, $D_{JK} = -11.77 \pm 0.04$ for PF₃. By using D_J and D_{JK} in addn. to the 4 vibration frequencies, all the consts. of the general force field were detd. for both mols. RCSQ

+ 1 ver

C.A. 1965-62-13

15607 q

B

PF₃

II-3980

1965

2Д302. Спектр миллиметровых волн и определение силовых постоянных молекул PF₃ и PCl₃. Miggia Anna M., Scappini Flavio, Favero Paolo G. Millimeter wave spectrum of PF₃ and PCl₃ and force constants determination. «Spectrochim. acta», 1965, 21, № 5, 965—971 (англ.)

Исследован вращательный спектр миллиметровых волн молекул PF₃ и PCl₃. С помощью полученных значений постоянных центробежного возмущения D_J и D_{JK} четырех колебательных частот вычислены силовые постоянные, названные молекул.

д. 1966 · 20

PF_3

Abramowitz S.,
Levin T. W.

1966

Z. Molec. Spectrosc., 19, n 4, 461.

Microrygic supereenergeticheskiy kopeev-
mecoboris Σ -noschitsenskoye.

(nue. BF_3)

13

1966

moles. noz. } (NF₃, PF₃, SF₃)
 chlorine noz. }

XIII 1615

Hoskins L. C.

J. Chem. Phys., 1966, 45, n13, 4594-
 4600

P-R separations and Coriolis
 constants for symmetric-top molecu-
 les.

Rev. Phys., 1967, 50 120

W

7

Mac. noet } Li⁺F₄, LiF₄, NF₃, Pf₃
Cust. noet } Li⁺F₃ XIII 1640 1966

Levin I, Abramowitz S,
J. Chem. Phys., 1966, 44,
N^o, 2562-64

px 1964

10

PF₃

XI-1348

1966

5 Д103. Обобщенные среднеквадратичные амплитуды и постоянные Кориолиса некоторых пирамидальных молекул и ионов типа XY₃. Venkateswaran K., R. M. Rushethamal C., Babu Joseph K. Generalised mean square amplitudes and Coriolis constants of some pyramidal XY₃ type molecules and ions. «Acta phys. polon.», 1966, 30, № 5, 807—812 (англ.)

Составлена таблица численных значений 6 силовых постоянных в естественных колебательных координатах молекул PF₃, PCl₃, PB₃, ClO₃, SeO₃, BrO₃, JO₃. Для этих же молекул приводятся численные значения элементов матриц форм колебаний в координатах симметрии. По этим данным вычислены значения постоянных Кориоли-

п. 1967. 58

са ζ_3^z , ζ_4^z , ζ_{34}^z и постоянных взаимодействия Кориолиса вида ζ_{ij}^x , ζ_{ij}^y . Для пар связанных и несвязанных атомов вычислены значения обобщенных среднеквадратичных амплитуд, $\langle \Delta z^2 \rangle$, $\langle \Delta x^2 \rangle$, $\langle \Delta y^2 \rangle$, $\langle \Delta z \Delta x \rangle$, $\langle \Delta x \Delta y \rangle$ при 300°K . Приведены ф-лы, выражающие эти амплитуды через коэф. связи между декартовыми координатами и координатами симметрии, и ф-лы, выражающие элементы матриц C_α Мила и Погочер через равновесные геометрич. параметры молекул и массы атомов. М. Ковнер

1887

PF₃

Коеррт Г. В., et al.

У. Амер. Числ. Док., 89
N 14, 3396.

Барьеры инверсии пирамидальных молекул типа XY и родственных плоских молекул, содержащих группу XY.

(ам. CH₃-)

PF_3 (суперполярное) 1967

AsF_3 ($\angle \text{PAsF}$)

NF_3 (ан. нор.)

Мирри А.Н.

XIII/703 суперполяр.

J. Chem. Phys., 1967, 47(8) 2823-8.

General force field of WF_3 , PF_3

and AsF_3 by the combined use
to  7

$y_i (\underline{yx_3}, y_c \text{ y: } NPAS, PC, 56, Bi, 1964)$

$X = H, F, Cl, CH_3, C=CH$)

Lijst W.H. St., Blaaf J.H.
van der, Spectrochim Acta,
1964, Q23, N8, 2453-55

X \overline{III} 936

PX1968

CC16 opm

10

13 14 12 11 1968

V₁, cm⁻¹ vsr (LiF₂, LiF₄, PF₃, PF₅, SF₄, SF₆, ClF, ClF₃, ClF₅) ~~MINIMUM~~

Brown R.D., Pecl J.B. XII 525.

Austral. J. Chem., 1963, 21, 110, 2361-
2365 (air)

Wray-Bridley potential constants
for ~~various~~ some fluorides.

ECT. 11.1 | 6137 5

Rec'd 1968, 14526 60

14 13 " 12 1968

paper, Dec. cons. no. 1. / SiF₂, SiF₄,
 PF₃, PF₅, SF₂, SF₄, SF₆, ClF, ClF₃, X₁-71
 ClF₅)

Brown R.D., Peel J.B.

Austral. J. Chem., 1968, 21, v11, 2605-2615

VESCF-mco studies of molecules containing atoms from the second row of the periodic table. II Properties of the fluorides of silicon, phosphorus, sulphur and chlorine [for the minimal basis set]

Pearl 19
JAN. 1968, 19

0.983. Pm

10



17

PX₂Y Y = Cl, Br, I. f (di crys
X = F, Cl, Br, I & am red) 1968
As Cl₂ Br, As Br₂ Cl XIII 203
Elvebredd J., Viz B., Cysin S.,
Mueller A., Trebs B.,
J. dist. Struct., 1968, L (2),
158-60

(Cp)

10

ca 1968

A - 1274
1968

2 Б205. Колебательные спектры и термодинамические функции PF_3 , PCl_3 , PBr_3 , PJ_3 , PF_2Cl , PF_2Br , PF_2I , PFCI_2 , PFBr_2 , PCl_2Br , PCl_2J , PClBr_2 , PClJ_2 , PBBr_2 , PBr_2J , PFCIBr , ~~AsCl_2Br -и~~ AsClBr_2 . Müller A., Niecke E., Krebs B., Glemser O. Schwingungsspektren und Thermodynamische Funktionen von PF_3 , PCl_3 , PBr_3 , PJ_3 , PF_2Cl , PF_2Br , PF_2J , PFCI_2 , PFBr_2 , PCl_2Br , PCl_2J , PClBr_2 , PClJ_2 , PBBr_2 , PBr_2J , PFCIBr , AsCl_2Br und AsClBr_2 . «Z. Naturforsch.», 1968, 23b, № 5, 588—594 (нем.; рез. англ.)

Предложено отнесение частот для указанных выше (см. заглавие) соединений. Вычислены их термодинамич. функции в температурном интервале 200—2000° К в приближении гармонич. осциллятор — жесткий ротор.

Резюме

+16

2

III

—

+18

II

x. 1969.

X

13

1968

cas. nos.: (PF₃, PCl₃, PB₃, XIII 510
AsF₃, AsCl₃, AsBr₃)

Pillai M. G., Krishna, Pillai P.P.

Indian J. Pure and Appl. Phys., 1968,
 6, no 8, 404-409 (sum)

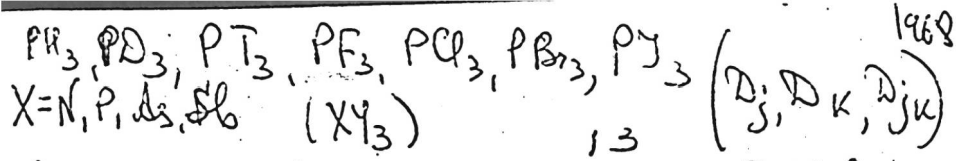
Molecular forces field for some
 XI-₃ type molecules

O

8

W

Pubd, 1969, 13562



Rao P. K., Rao P. B., 20 ^{XIII 536}
 Spectrosc. Mol., 1968, 12(190), 8-9 (interlingua)

The empirical relation between the mass of the Y atom and the rotational constants for XY_3 molecules of symmetry C_{3v} . 10
 C.A. (1968, 69, 112, "Proc. Roy. Soc. A")

$\text{Si}, \text{N}, \text{n. } \text{NF}_3, \text{PF}_3, \text{SF}_3, \text{PCl}_3)$ 1969
 XIII 161

Gwynn¹³ S.J., Cyrus B.W., Müller et.
J. molec. Struct., 1969, 4, 445-6, 341-345

Mean amplitudes of vibration
for some pyramidal XY_3 molecu-
les.

6. 6 ang

Part 4, 1970, 14572

10

Coul. Noc^t. (NH₃, PH₃, AsH₃, BBH₃, ND₃, 1969
PD₃, AsD₃, BB_{D3}, NHF₂, ND_{F2}, NF₃, PF₃,
AsF₃, BB_{F3}, NC₃, PC₃, AsCl₃, BB_{Cl3}, NB₃,
PB₃, AsBr₃, BB_{Br3}, ND₃, PF₃; AsF₃, BB_{F3})

King Shin-Tung, Overland J.,
J. Phys. Chem., 1969, 73, N^o 2,
406-12

PF₃

1969

Lojko M.S.,
Beers Y.

6p. noct.

Y. Res. Nat. Bees. Stand.,
A 43, N 2, 233.



(Ceu. H₂O) III

BP-XIII-429 1969

PF₃

109826v Molecular structure of phosphorus trifluoride studied by gas electron diffraction. Morino, Yonezo; Kuchitsu, Kozo; Moritani, Tohei (Univ. Tokyo, Tokyo, Japan). *Inorg. Chem.* 1969, 8(4), 867-71 (Eng). The interat. distances and the mean amplitudes for PF₃ have been detd. by the sector-microphotometer method of gas electron diffraction to be r_0 -
(P-F) = 1.5700 ± 0.0012, r_0 (F...F) = 2.3643 ± 0.0028,

l (P-F) = 0.0395 ± 0.0025, and l (F...F) = 0.0653 ± 0.0029 Å. The av. structure in the ground vibrational state has been calcd. from the interat. distances (r_0) by making correction for the effect of at. displacements perpendicular to the equil. bond directions and for the centrifugal distortion. This av. structure is in good correspondence with the rotational const. B , calcd. from the rotational constant B_0 obtained by microwave spectroscopy. The bond angle for PF₃, θ_α (F-P-F) = 97.8 ± 0.2°, is the smallest in the series of P trihalides reported so far, and, hence, 1 of the subrules proposed by Gillespie has to be modified. RCHH

Cupra

C.A. 1969

70.24

PF₃

БР-ХII-429

1969

6 Б146. Изучение молекулярного строения трифторида фосфора методом рассеяния электронов в газе.
Morino Yonezo, Kuchitsu Kozo, Moritani Tohei. Molecular structure of phosphorus trifluoride studied by gas electron diffraction. «Inorgan. Chem.», 1969, 8, № 4, 867—871 (англ.)

молекул.
строение

X. 1970. 6

PF_3

Müller L, et al. 1969

J. molec. Spectrosc.,
30(1), 157.

use. n.



(cav. SO_2) III

1969

PF₃

NH₂, NH₃

Olmsted L.L.

rb. ecex
pacem

Univ. Wisconsin, Madison,
son, Wis., 1969, 120 (Aug)
avail. Univ. microfilms
Ann Arbor, Mich., Order
No 70-3651. From Des
Abstr. Ser. B, 1970,
21, 2, 572

SND C

PF₃

XIII - 530

1969

17257 Molecular constants of some phosphorus-halogen compounds. Ramaswamy, K.; Rao, B. Krishna (Annamalai Univ., Annamalainagar, India). *Z. Phys. Chem. (Leipzig)* 1969, 240(1-2), 127-34 (Eng). The potential energy consts. and mean amplitudes of vibration for PF₃, POF₃, and PSF₃, and for the resp. Cl compds. were evaluated from vibrational spectral data by using the method of the characteristic set of coordinates. The behavior of the lone pair of electrons in PF₃ and PCl₃ is similar to that of O and S in PSX₃ groups of mols. The high value of the P-F force const. (6.4622 millidynes/A.) in PF₃ is believed to be due to the tendency for a double bond formation, with the delocalization of the electron pairs of the F atom into the higher orbitals of the P atom.

Friedrich Epstein

C.A. 1969.

71.4

+2

XI

PBr_3 , $POBr_3$, $PSBr_3$ (Chem. no. 5) 1969

PBr_3 , PCl_3 , PF_3 (no. 5. Roppon. Vayu) XIII 533

Ramaswamy K., Rao B.K.,
 13

Z. Phys. Chem. (Leipzig) 1969, 242 (3-4)

Molecular constants of phosphorus
halogen compounds \rightarrow 1969-60.
also see Compounds \rightarrow 1969-60 and ECR

1010 (p)

CA, 1970, 42, 56, 24976K

1969

PF₃

Saxena N.K.

param

Indian J. Pure,
and Appl. Phys.,

1969; 4, n12, 828

(See. YCL) III

P₁, P₂F₂, P₃F₃, P₂F₄, P₃F₅F₆F₇(Vi) 1969

Solan. D., XII 1247

U.S. Clearinghouse Fed. Sci. Tech.

Monogram, PB Rep., 1969, PB-184819, 247 pp
(cont.)

Production, reactivities, and properties
of low-valent highly reactive chemical
species - with special emphasis
on the phosphorus-fluorine system

10 11 ♂

CAI 1970, #2, N18, 96190X

PF₃

3 Б28. Теоретическое и экспериментальное исследование электронного строения PF₃O и свойств PF₃, как лиганда. Bassett P. J., Lloyd D. R., Hillier I. H., Saunders V. R. A theoretical and experimental study of the electronic structure of PF₃O and the ligand properties of PF₃. «Chem. Phys. Lett.», 1970, 6, № 4, 253—254 (англ.)

1970

Электр.
строение

19)

Произведены расчеты MO PF₃ и PF₃O методом MO—CCP с базисом из слейтеровских орбиталей, разложенных на три гауссовые функции (ГФ) каждая (кроме 2p—AO F, разложенных на 4 ГФ), с орбитальными экспонентами системы Клементи и Раймонди, а для 3d—AO фосфора — с оптимизированной экспонентой 1,77. Вычисленные орбитальные энергии сопоставлены с определенными экспериментально в этой же работе вертикальными потенциалами ионизации (из фотоэлектронного спектра). Порядок и разности энергий MO полностью

(4) [Си. так же
PF₃O (ш)] 8

Х. РН. 3

совпадают с опытом; вычисленные абс. значения энергий больше опытных на ~ 2 эв. При координации с О энергия MO неподеленной пары в PF_3 ($8a_1$) понижается на 3,4 эв, а энергии остальных MO на 1—2 эв. Координация сопровождается переносом 0,1 e от P к O и переносом 0,7 e с $3s$ -АО P на его $3d$ -АО. В PF_3O ионизация с наименьшим потенциалом происходит в MO $7e$, свободной в PF_3 ; эта MO PF_3O включает 13% $3d$ -АО фосфора. Укорочение связей P — при координации объясняется тем, что MO PF_3 $8a_1$ является в заметной степени разрыхляющей, а в PF_3O разрыхляющий характер уменьшается.

М. Дяткина

1970

PF₃~~000770-see esp.~~~~check~~+ PF₃O

6551e Theoretical and experimental study of the electronic structure of PF₃O and the ligand properties of PF₃. Bassett, P. J.; Lloyd, D. R.; Hillier, I. H.; Saunders, V. R. (Dep. Chem., Univ. Birmingham, Birmingham, Engl.). *Chem. Phys. Lett.* 1970, 6(4), 253-4 (Eng). The electron donor and acceptor properties of PF₃ are investigated theoretically by ab initio SCF MO calcns. of PF₃O. The results are used to discuss the photo-electron spectra of PF₃ and PF₃O and the change in ligand geometry on coordination. T. C. Jones

C.A. 1971-74 2

PF₃

Freeman D. G. 1970

qd.-ue
noteses.
Энергии

Z. Naturforsch.,

1940, 425, 2, 217

(Cu. CH₄) III

1970

PA3

(125282g) Photoelectron spectra of trifluorophosphine and its complexes tetrakis(trifluorophosphine)nickel and tetrakis(trifluorophosphine)platinum. Green, J. C.; King, D. I.; Eland, J. H. D. (Inorg. Chem. Lab., Oxford, Engl.). *J. Chem. Soc. D* 1970, (17), 1121-2 (Eng). Comparison of the photoelectron spectra of PF_3 , $\text{Ni}(\text{PF}_3)_4$, $\text{Pt}(\text{PF}_3)_4$, and $\text{Ni}(\text{CO})_4$ indicates that PF_3 is a better π -electron acceptor than CO. Pt is less efficient than Ni in forming π -bonds with PF_3 . Ionization potentials are tabulated.

FBJN

+3

C.A. 1970 73:24



PF₃

1970

2 Д383. Фотоэлектронные спектры трифтормосфина и его комплексов $\text{Ni}(\text{PF}_3)_4$ и $\text{Pt}(\text{PF}_3)_4$. Green J. C., King D. I., Eland J. H. D. Photoelectron spectra of trifluorophosphine and its complexes $\text{Ni}(\text{PF}_3)_4$ and $\text{Pt}(\text{PF}_3)_4$. «Chem. Commun.», 1970, № 17, 1121—1122
Англ.)

Фотоэлектр. спектр.
Получены фотоэлектронные спектры PF_3 , $\text{Ni}(\text{PF}_3)_4$ и $\text{Pt}(\text{PF}_3)_4$. Пики в спектре PF_3 идентифицированы на основе теории групп с помощью сравнения со спектрами PCl_3 и PBBr_3 . Аналогично интерпретированы спектры $\text{Ni}(\text{PF}_3)_4$ и $\text{Pt}(\text{PF}_3)_4$. Сделаны выводы о характере связи переходных металлов с лигандами в этих соединениях. Произведено сравнение с ранее полученными спектрами и характером связей для $\text{Ni}(\text{CO})_4$. Библ. 9.

А. Л. Н.

+2

Си. паки $\text{PF}_3(\text{H})$

09. 1971.

28



PF₃

Hillier J. H. 1880
Saunders W. R.

3d. epoxide

Trans. Far. Soc.,
66 (10), 2401

(ac. PH₃) III

1970

PF₃

21 Б245. Микроволновый спектр трифторида фосфора. Молекулярная структура и силовые коэффициенты.
Higota Eizi, Morino Yonezo. Microwave spectrum of phosphorus trifluoride. Molecular structure and force constants «J. Mol. Spectrosc.», 1970, 33, № 3, 460—473 (англ.)

и.и.специ.геом. спр-рн

Исследован МВ-вращательный спектр молекулы PF₃ (I) при комб. т-ре (переходы $J=1\leftarrow 0$ и $J=2\leftarrow 1$) в основном и возбужденных колебательных состояниях v_1+v_4 , v_1 , $4v_4$, $3v_4$, $2v_4$, v_4 , v_2+2v_4 , v_2+v_4 , v_2 , $2v_2$, v_3+v_4 и v_3 для переходов $J=1\leftarrow 0$ в области 15 500—15 710 $Mgц$, v_4 , v_3 , $3v_4$, v_1+v_4 , v_1 , v_2+v_4 , $2v_4$, v_2+2v_4 , v_2 , $2v_2$ и $J=2\leftarrow 1$ в области 31 000—31 500 $Mgц$). Из анализа переходов $J=1\leftarrow 0$ определены значения

X. 1970.21

вращательной постоянной $B_0 = 7819,991 \text{ МГц}$ и после учета кориолисова взаимодействия v_1 и v_3 состояний найдено $B_e = 7847,724 \text{ МГц}$. Приведены значения определенных из этого перехода постоянных α^B и γ . Анализ системы 5 МВ-линий перехода $J=2 \rightarrow 1$ в состоянии v_4 приведен с учетом вклада l -резонанса. При этом определены молек. постоянные $B_4 = 7823,035$, $q_4 = 29,450$, $X_4 = -26,216 \text{ МГц}$, дипольный момент $\mu(I \text{ в } v_4) = 1,13 D$. Из анализа линий перехода $J=2 \leftarrow 1$ в состоянии v_3 (с учетом кориолисова взаимодействия v_1 и v_3) получены молек. постоянные $B_3 = 7777,262$, $q_3 = 42,325 \text{ МГц}$, $|\xi_{13}^x| = 0,37 \pm 0,04$, а для состояния $3v_4$ получено $B(3v_4) = 7828,936$, $q_4 = 29,581$, $X(3v_4) = -87,008 \text{ МГц}$. Проведен повторный анализ процедуры определения Мирри и др. силовых коэф. по постоянным центробежного растяжения и с использованием эксперим. частот колебаний. Получены след. значения геометрич. параметров $r_c(P-F) = 1,563 \pm 0,002 \text{ \AA}$, $\theta_c(FPF) = 96^\circ 53' \pm 41'$, кориолисовой постоянной $\xi_4 = -0,618 \pm 0,618$ и силовых коэф. $F_{11} = 6,23 \pm 0,13$, $F_{12} = 0,64 \pm 0,14$, $F_{22} = 1,96 \pm 0,04$, $F_{33} = 4,98 \pm 0,05$, $F_{34} = -0,30 \pm 0,08$, $F_{44} = 1,22 \pm 0,03 \text{ мдн/А}$.

А. Александров

PF₃

M. N.

cent. note

M. b. check p

84623c Microwave spectrum of phosphorus trifluoride. Molecular structure and force constants. Hirota, Eizi; Morino, Yonezo (Fac. Sci., Kyushu Univ., Fukuoka, Japan). *J. Mol. Spectrosc.* 1970, 33(3), 460-73 (Eng). The microwave spectrum of PF₃ was obsd. in the excited vibrational states. The rotational const. at the equil. state, B_e , was 7847.72 MHz. The ν_4 satellites were analyzed by taking into account the *l*-type resonance; the mol. consts. derived are $q_4 = 29.450$ MHz and $X_4 \equiv C_4 - B_4 - \xi_4 C = -26.216$ MHz. A small effect of the Coriolis interaction between the ν_1 and ν_3 vibrations was obsd. on the ν_3 spectrum, the anal. of which gave $|\xi_{13}^{(1)}| = |0.37 \pm 0.04$ and the *l*-type doubling const. q_3 was 42.325 MHz. The data of Mirri on the centrifugal distortion was reanalyzed with explicit ref. to the mol. structure, where the X_4 const. was also utilized. The results are r_e (P-F) = 1.563 ± 0.002 Å; θ_e (\angle FPF) = $96^\circ 52' \pm 41'$; $F_{11} = 6.23 \pm 0.13$ millidyne/Å; $F_{12} = 0.64 \pm 0.14$ millidyne; $F_{22} = 1.96 \pm 0.04$ millidyne-Å; $F_{33} = 4.98 \pm 0.05$ millidyne/Å; $F_{34} = -0.30 \pm 0.08$ millidyne; $F_{44} = 1.22 \pm 0.03$ millidyne-Å; and the Coriolis coupling const. ξ_4 is calcd. to be -0.618 ± 0.018 . RCKP

C.A.

1970.72.16

PF₃

1970

11 Д603. Микроволновый спектр трехфтористого фосфора. Молекулярная структура и силовые постоянные
Hiroya Eizi, Morino Yonezo. Microwave spectrum of phosphorus trifluoride. Molecular structure and force constants. «J. Mol. Spectrocs.», 1970, 33, № 3, 460—473 (англ.)

Наблюден микроволны, спектр молекулы PF₃ (I) в возбужденных колебательных состояниях при комнатной температуре. Отождествлены переходы J=1<→0 и 2<→1. Определенная вращательная постоянная B_c , равная 7847,724 Мгц, дала отношение между двумя структурными параметрами в равновесном состоянии. Это отношение в сочетании с данными Мирри (РЖФиз, 1966, 2Д302; 1968,

М.И.

ИДели. Стр

Син. И.

РСС

09. 1970.

110

5Д127) и по исследованию резонанса *l*-типа привели к определению молекулярной структуры и силовых постоянных: $r_e(P-F) = 1,563 \pm 0,002 \text{ \AA}$; $\theta_d(\angle FPF) = 96^\circ 53' \pm 41'$; $F_{11} = 6,23 \pm 0,13$; $F_{12} = 0,64 \pm 14$; $F_{22} = 1,96 \pm 0,04$; $F_{33} = 4,98 \pm 0,05$; $F_{34} = -0,30 \pm 0,08$; $F_{44} = 1,22 \pm 0,3 \text{ мдин/\AA}$. Вычислена постоянная кориолисова взаимодействия, равная $0,618 \pm 0,018$.

Г. П.

PF₃

Keeton M.,

1870

Santrey A. P.

Cheek. Phys. Lett.,
7 (1), 105.

pacrei

(acc. PH₃) III

11920

I (AlCl_3 , PCl_3 , PF_3 , NF_3 , AlB_3 ,
 CrB_3 , CoB_3)

Lloyd. D.R., 7 6 15 13
VII 5775

Int. J. Mass Spectrom. and Ion Phys.,
1970, 4, 46, 500-503 (austr.).

The failure of electron impact measure-
ments to detect first ionization poten-
tials in some insulators. A. H.
Phys., 1971, 42 236



10 18



PF₃

1970

5 Б38. Связь за счет внешних *d*-орбит и орбит непрерывного спектра в молекулах элементов III периода.

Mitchell K. A. R. Bonding by outer *d* orbitals and by continuum orbitals in molecules of second-row atoms.

«Inorg. Chem.», 1970, 9, № 8, 1960—1962 (англ.)

Обсуждается предположение Йоргенсена (см. РЖХим, 1968, 19Б58) о том, что акцепторные св-ва соединений типа PF_3 обусловлены включением орбит непрерывного спектра фосфора, а не его $3d$ -АО. Автор указывает, что вывод о значит. роли d -АО был получен в расчетах со специальным подбором формы этих АО (оптимизация экспонент), тогда как при использовании неоптимизированных экспонент вклад $3d$ -АО мал и большую роль могут играть орбиты континуума или высшие дискретные АО. Радиальные части d -АО общего вида могут быть разложены по радиальным частям $3d$ -, $4d$ -, $5d$ -АО

X. 1971. 5

и т. д. и интеграла от орбит континуума. Вклад орбит континуума особенно велик в областях пространства, где малы вклады дискретных АО. Таким образом, имеются две возможности: либо используются водородоподобные d -АО, однако при этом следует учитывать орбиты континуума, ибо приходится выбирать d -АО различными для каждой молекулы. Оба приема равноправны и выбор должен определяться конкретными особенностями расчета. По-видимому, включение орбит континуума более целесообразно, когда оптим. форма АО сильно меняется при переходе от одной молекулы к другой.

М. Дяткина

PF_3

1970

Oka T.

Shimizu T.

Phys. Rev. A: Gen. Phys.
1970, 2, N3, 587-593

(Cer. CO_3 CN) III

Sl. n., cas. n. (PF_3 , PCl_3 , PBBr_3 , PY_3 , 1970
 AsF_3 , AsCl_3 , AsBr_3 , AsI_3)

Rai S.N., Thakur S.N., K^{III} 563

Austral. J. Chem., 1970, 23, n 5, 881-
886 ^{syn.}

Kinematical evaluations of force
constants: application to trihalides
of phosphorus and arsenic.

Rec'd, 1970, 12/21/25 - C 100% open (2) 11.0

Y/KS
LFB

PF
3

4 Б277. Полоса $\nu_3 \text{PF}_3$. Reichman Sandor. The ν_3 band of PF_3 . «J. Mol. Spectrosc.», 1970, 35, № 2, 329—331 (англ.)

Исследована с высоким разрешением ($0,03 \text{ см}^{-1}$) вращательная структура полосы ν_3 в области $842—875 \text{ см}^{-1}$ молекулы PF_3 (I). Эта вращательная структура воспроизведена ($J, K \leq 75$) с помощью расчета с использованием лит. значений вращательно-колебательных постоянных I $B'' = 0,2609$, $B' - B'' = 0,00143$, $D_J = 2,62 \times 10^{-7}$, $D_{JK} = -3,93 \times 10^{-7}$, $D_K = 1,8 \times 10^{-7} \text{ см}^{-1}$ (вычислена с использованием лит. квадратич. силовых коэф.), а также определенных в настоящей работе значений комбинаций $[\nu_0 + C'(1-2\varphi) - B'] = 859,87 \pm 1,0$; $[C'(1-\varphi) - B'] = -0,169 \pm 0,001$, $[(C' - B') - (C'' - B'')] = 0,00107 \pm 0,00005 \text{ см}^{-1}$. Согласие между наблюдавшимися и вычисленными спектрами хорошее в области $847—857 \text{ см}^{-1}$ и несколько хуже в области $864—868 \text{ см}^{-1}$.

А. П. Александров

вращ. спр. ре

X-1971.

PF₃

BP-XIII-861

1970

71634c ν₃ Band of phosphorus trifluoride. Reichman,
Sandor (Dep. of Chem., San Fernando Valley State Coll.,
Northridge, Calif.). *J. Mol. Spectrosc.* 1970, 35(2), 329-31
(Eng). The ν₃ band of PF₃ was recorded with a 0.03-cm⁻¹
resoln. and was compared with the synthetic spectra obtained
from trial band consts. The exptl. obsd. and theoretically calcd.
spectra agreed well in the region 847-857 cm⁻¹. DYJN

C.A. 1970. 73-14

BP - XIII - 86

1970

PF₃

4 Д358. Полоса ν_3 PF₃. Reichman Sandor. The ν_3 band of PF₃. «J. Mol. Spectrosc.», 1970, 35, № 2, 329—331 (англ.)

Получен ИК-спектр PF₃ в области основного колебания ν_3 (842—875 см⁻¹) в слое толщиной 13 см при давлении 1 мм рт. ст. с разрешением 0,03 см⁻¹ на приборе с дифракционной решеткой. Из-за противоположных знаков коэф. при J и K в выражении колебательно-вращательного терма все линии попадают в очень узкий интервал частот. Анализ усложняется наложением полосы ν_1 и полос горячих переходов. Индивидуального отнесения линий произвести не удалось. Выполнен расчет спектра по молекулярным постоянным, полученным ранее при анализе полос ν_1 и ν_2 . Достигнуто хорошее согласие наблюденного и рассчитанного спектров в средней части полосы. Библ. 9.

М. В. Тонков

ИК-спектр

оп. 1971. 49

21, M. 11. (AsF₃, PF₃) 13 1970

Reichman S., Overend J.

Hectrochim. Acta, 1970, A26, n2,

378-389 (ann.). XIII/5 46

High-resolution spectra of AsF₃
and PF₃.

6

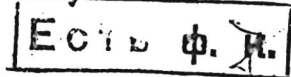
○

60

Bugay, 1970, 68427

NF₃; PF₃; AsF₃ (mon. no cm.) 13 1970
xiii 1734
Reichman S., Smith D.F. Jr., Overend F.,
Spectrochim. Acta, 1970, A26, N° 4, 927-35
(contd.)

Vibrational anharmonicity in
the pyramidal trifluorides.



10

⑤

CA 1970, 73, N2, 8990a

PF₃
ночн.
коричн.
пассажир.
Timoshkinju U.S. 1940
Godnev I. N.
Opt. Spektrosk. 1970,
28(4), 832-3

● (Ces. BCe₃) III

PF_Y

Weudling E.

1970

Mahmoudi S.

Ces. n.

C. R. Acad. Sci., Ser. C.
1970, 271(1), 5-8



(Ces. CF_Y)III

PF₃

(47792c) 1-Type doubling transitions of phosphorus trifluoride in the $v_4 = 1$ state. Hirota, Eizi (Fac. Sci., Kyushu Univ., Fukuoka, Japan). *J. Mol. Spectrosc.* 1971, 37(1), 20-32 (Eng). The *l*-type doubling transitions of PE₃ in the v_4 state were obsd. for $J = 17$ to 24 and were analyzed by taking into account the "2,2" and "2,-1" interactions as well as the centrifugal distortion effects. The *l*-type doubling const. q_4 and the "2,-1" interaction const. r_4 were detd. as 29.49270 ± 0.000079 , and 3.009 ± 0.0065 MHz, resp. By using the 2 consts. both assumed to be pos., the 2 cubic consts., k_{44} and k_{43} , are evaluated as -14.40 and -26.98 cm⁻¹, resp. The 2 transitions, $J = 17$, $K = 1$ and 2, were shifted by accidental degeneracy, and the anal. gave improved values both for the av. rotational const. $\bar{C} 4788.9 \pm 0.55$ MHz, and the Coriolis coupling const. ξ_4 , -0.6281 ± 0.00018 . The $K = 3$ transitions were obsd. to be split, and the splittings were accounted for by the matrix elements between $K = +1$, $l_4 = +1$ and $K = -1$, $l_4 = -1$ and also between $K = +2$, $l_4 = -1$ and $K = -2$, $l_4 = +1$. The latter term, which was more important, is discussed in some detail.

RCKP

1971
8/4/71
B99-111

C. I. 1971. 44.40.

PF₃

БФ-XIII-844

1971

15 Б219. Переходы между компонентами l -удвоения в состоянии $v_4=1$ PF₃. Нигота Еизи. The l -type doubling transitions of PF₃ in the $v_4=1$ state. «J. Mol. Spectrosc.», 1971, 37, № 1; 20—32 (англ.)

Исследован МВ-спектр в возбужденном дважды вырожденном колебательном состоянии $v_4=1$ молекулы PF₃. В диапазоне 8—18 Гц идентифицированы линии переходов между компонентами l -удвоения в вращательных состояниях с $l=17—24$ и с различными K . Анализ спектра выполнен с учетом резонансов (2,2) и (2, -1), т. е. с учетом недиагональных элементов матрицы колебательно-вращательной энергии, связывающих уровни с l и K , отличающимися на $\Delta l = \Delta K = 2$ и $\Delta l = 2$ и $\Delta K = -1$ соотв., и центробежного искажения. Отмечено, что при учете одного только (2,2)-резонанса монотонная зависимость разности вычисленных и наблюдаемых частот от

М. Н.

Х. 1971.15

квантового числа $K = K - l$ при $K = 0 - 3$ нарушается. Из частот переходов вычислены значения вращательных постоянных $B_4 = 7823, 0,35$, $C_4 = 4788,9 \text{ МГц}$, кориолисовой постоянной $\xi_4 = -0,6281$, постоянных $(2,2)$ - и $(2, -1)$ -резонансов $q_4 = 29,4927$, $r_4 = 3,009$, изменений q_4 и r_4 с I и K $D_{qI} = 0,0001591$, $D_{qK} = -0,000288 \text{ МГц}$ и постоянных центробежного искажения $D_I = -0,0002 \pm 0,00015$, $D_{IK} = 0,0004 \pm 0,00013$ и $D_K = -0,00002 \pm 0,000037 \text{ МГц}$. Из полученных значений q_4 и r_4 вычислены кубич. коэф. ангармоничности $K_{444} = -14,40$ и $K_{443} = -26,98 \text{ см}^{-1}$. Значения D_I , D_{IK} и D_K по порядку величины отличаются от лит. данных.

М. Р. Алиев

BP-XIII-844

1971

PF₃

8 Д464. Удвоение *l*-типа переходов в колебательном состоянии $v_4=1$ в PF₃. Hiroya Eizaki. The *l*-type doubling transitions of PF₃ in the $v_4=1$ state. «J. Mol. Spectrosc.», 1971, 37, № 1, 20—32 (англ.)

M. N.

В области частот 8—18 ГГц наблюдено удвоение *l*-типа переходов $J=17 \div 24$ молекулы PF₃ в возбужденном колебательном состоянии $v_4=1$. Проведен расчет частот переходов с учетом взаимодействий «2,2» и «2,—1». Определены (в МГц) постоянная удвоения *l*-типа $q_4=29,49270 \pm 0,000079$ и постоянная взаимодействия «2,—1» $r_4=3,009_6 \pm 0,0065$. Рассчитано значение кубич. постоянных $k_{444}=-14,40$ и $k_{443}=-26,98 \text{ см}^{-1}$. Из анализа переходов $J=17$ и $k=1$ и 2 получена постоянная кориолисова взаимодействия $\zeta_4=-0,6281_0 \pm 0,00018$. Г. П.

Ф. 1971. 844

PF₃

1971

BP-XII - 444

и. н.

12 Д218. Влияние поправок третьего порядка на частоты переходов между компонентами *l*-удвоения состояния $v_4=1$ молекулы PF₃. Hirot a Eiz i. Effects of the third-order constants on the *l*-type doubling transitions of PF₃ in the $v_4=1$ state. «J. Mol. Spectrosc.», 1971, 38, № 1, 195—196 (англ.)

Вновь анализирован микроволн. спектр переходов между компонентами *l*-удвоения уровня $v_4=1$ молекулы PF₃, полученный автором в работе: (РЖФиз., 1971, 8Д464).

Ф. 1971. 120

С учетом центробежных поправок 3-го порядка к энергии кориолисова взаимодействия 1-го порядка и центробежных поправок 4-го порядка к постоянной колебательно-вращательного l -удвоения методом наименьших квадратов из частот переходов определены новые значения вращательной постоянной $\bar{C} = 4784,1 \text{ мгц}$, кориолисовой постоянной $\xi_4 = -0,6297$, постоянных l -удвоения $q_4 = 29,49265$, $r_4 = 3,013 \text{ мгц}$ и постоянных центробежного искажения $D_{qJ} = 0,0001589$, $D_{qR} = -0,0002853$, $\eta_J = -0,00000407$, $\eta_R = 0,00000342 \text{ мги}$.

М. Р. Алиев

PF₃

1971

22 Б279. Влияние поправок третьего порядка на частоты переходов между компонентами *l*-удвоения состояния $v_4=1$ молекулы PF₃. Higota Eiz. Effects of the third-order constants on the *l*-type doubling transitions of PF₃ in the $v_4=1$ state. «J. Mol. Spectrosc.», 1971, 38, № 1, 195—196 (англ.)

Изучен МВ-спектр переходов между компонентами *l*-удвоения уровня $v_4=1$ молекулы PF₃. С учетом центробежных поправок 3-го порядка к энергии кориолисова взаимодействия 1-го порядка и центробежных поправок 4-го порядка к постоянным колебательно-вращательного *l*-удвоения, методом наименьших квадратов из частот переходов определены новые значения вращательной постоянной $C=4784,1$ Мгц, кориолисовой постоянной $\zeta_4=0,6297$, постоянных *l*-удвоения $q_4=29,49265$, $r_4=-3,013$ Мгц и постоянных центробежного искажения $D_{qI}=0,0001589$, $D_{qk}=-0,002853$, $\eta_I=-0,00000407$, $\eta_k=0,00000342$ Мгц.

М. Р. Алиев

III - III - 444

X. 1971. 22

PF₃

1971

BP-XII-774

117785d) Effects of the third-order constants on the *l*-type doubling transitions of phosphorus trifluoroide in the $\nu_4 = 1$ state. Hirota, Eizi (Fac. Sci., Kyushu Univ., Fukuoka, Japan). *J. Mol. Spectrosc.* 1971, 38(1), 195-6 (Eng). The *l*-type doubling transitions of PF₃ in the ν_4 state are reanalyzed by taking into account the 3rd-order terms, while keeping the centrifugal distortion consts. the same as those in the ground state. An equally good fitting is obtained, and other parameters are not influenced very much, except for the *C* const. (av. of the *C* const.).

RCKP

C.A. 1971-44.22

21. 11., 2000. сгрупп. (AsF₃, PF₃,
13. PCl₃) NF₃. 1971

Бакинск. 10. 4., Ховрич Т. В.,
описка в спектропсии, 1971, 30,
N 2, 230-233

3

Определение структуры пирофосфато-
вых соединений типа X₃ при решении
компьютерской задачи с использованием
метода моделирования. ○ Их структура
РуХов, 1971, 115-70

1981

РФ3

9 Д135. Внутримолекулярные силовые поля трехгалогенидов элементов группы VB. Rai S. N., Thakur S. N. Intramolecular force fields in group VB trihalides. «Indian J. Pure and Appl. Phys.», 1971, 9, № 1, 61—62 (англ.)

Эмпирическое соотношение $Y = k\omega + c$ (Y — силовая постоянная связи (f_r), обратная среднеквадратичная амплитуда колебания (σ_r^{-1}) или энергия диссоциации (D) связи; k и c — постоянные, ω — степень ионности связи) применено к молекулам PX_3 , AsX_3 , SbX_3 и BiX_3 ($X = \text{F}, \text{Cl}, \text{Br}, \text{J}$). Найдены некоторые отклонения зависимостей $\sigma_r^{-1}(\omega)$ и $D(\omega)$ от линейной.

М. Р. Алиев

8.1981.98



PF₃

БР-XIII-2003

1971

Б84. Постоянные кориолисова взаимодействия галогенов элементов V группы. Гимошинин В. С., Годнев И. Н. «Оптика и спектроскопия», 1971, 31, № 6, 1027—1029

Методом прогрессирующей жесткости из частот колебаний и структурных параметров вычислены формы колебаний и постоянные кориолисова взаимодействия молекул XY₃ с X=P, As, Sb; Y=F, Cl, Br, I. Полученные значения кориолисовых постоянных молекулы PF₃ согласуются с эксперим. данными.

М. Р. Алиев

+15

X. 1972.8



XY_3

PF_3

(μ_{II})

V - группа

1971

В9-XIII-2003

Сост. Ольга

✓ 4 Д225. Постоянныe кориолисова взаимодействия галогенидов элементов V группы. Тимошин В. С., Годнев И. Н. «Оптика и спектроскопия», 1971; 31, № 6, 1027—1029

На основе метода прогрессирующей жесткости проведено систематич. изучение постоянных кориолисова взаимодействия галогенидов V группы вида XY_3 , имеющих пирамидальную структуру (симметрия C_{3v}).

414

Ф. 1972. 40.

PF_3	SbF_3
PCl_3	SbCl_3
PI_3	SbBr_3
AsF_3	SbI_3
AsCl_3	BiF_3
AsBr_3	BiCl_3
AsI_3	BiBr_3
	BiI_3

PF₃

Absar Ilyas, Van Wazer 1972
John R.

(u.n.d.) "J. Amer. Chem. Soc", 1972,
94, nr 18, 6294-6297.

(c.u. PF₂H, III)

PF₃

XII - 2293

1972

1 Д166. Вычисление единственных силовых постоянных. Apanthakrishnan T. R., Aruldhas G. The calculation of unique force constants. «J. Mol. Struct.», 1972, 13, № 2, 163—169 (англ.)

Матрица форм колебаний представлена в виде $L = TA$: треугольная матрица T определяется из ур-ния $G = TT^T$, G — матрица кинематич. коэф.

$$A = \begin{vmatrix} \cos \Phi & \sin \Phi \\ \sin \Phi & -\cos \Phi \end{vmatrix}$$

Матрица постоянных Кориолиса $\zeta = \tilde{A}JA$, $J = T^{-1}CT^{-1}$. C — матрица Мила и Пого в ур-нии $\zeta = L^{-1}\tilde{C}L^{-1}$. При известной матрице J и при использовании опытных зна-

(74)

Р. М. Ф. 1973 г.

чений ζ для $\operatorname{tg}\Phi$ получается квадратное ур-ние, из которого следуют два значения Φ в интервале $0, \pi$. Этим двум значениям Φ соответствуют два набора матриц A , L и матриц силовых постоянных $F = \tilde{L}^{-1}AL^{-1}$. Поэтому для однозначного определения силовых постоянных необходимо привлечение дополнительных данных, в частности, матриц средних квадратичных амплитуд Σ , связанных с матрицей L и определяемых по опытным значениям амплитуд колебаний расстояний между связанными и между несвязанными атомами. Численные расчеты углов Φ , всех элементов матриц G , A , T , J и однозначное определение силовых постоянных F_{33} , F_{34} , F_{44} выполнено для молекул PF_3 , NF_3 , NH_3 , BF_3 , RuO_4 .

М. А. Ковнер

1972

PF₃

Bassett P. J.,
Lloyd D. R.

(Ei; Y)

"J. Chem. Soc. Dalton. Trans"
1972, N3, 248-54.

(err: VF₃; III)

PF_3

Cradock S; et al.

1972

photo
envelope

"J. Chem. Soc. Far. Trans"
1972, Part 2, 68, 940-6.

● (catal. PF_2H ; III)

PF₃

PF₅

PH₃

PH₅

*Электр.
строение*

19 Б71. Расчеты полуэмпирическим методом молекулярных орбиталей. Псевдовращение в пентафториде фосфора. Florey James B., Cusachs Louis Choi p. Semiempirical molecular orbital calculations. Pseudorotation in phosphorus pentafluoride. «J. Amer. Chem. Soc.», 1972, 94, № 9, 3040—3047 (англ.)

Полуэмпирическим методом МО ЛКАО в приближении псевдопотенциала (РЖХим, 1967, 19Б9) в валентном приближении, с учетом и без учета 3d-АО атомов Р исследовано электронное строение PF₃, PF₅ (I), PH₃ и PH₅. Для I исследовано большое число конформаций. Вычислены орбитальные энергии и проведен анализ заселенностей. На основании результатов расчетов подробно обсуждена природа хим. связи в рассматриваемых соединениях, механизм внутримолек. обмена лигандами и природа барьера псевдовращения в I.

В. Л. Лебедев

X. 1882. 19

1882

-Борб

ХХХ

PF₃

XIII - 2096

1972.

D 9 Д165. Расчеты полуэмпирическим методом молекулярных орбиталей. Псевдовращение в пентафториде фосфора. Florey James Brice, Cusachs Louis Chopin. Semiempirical molecular orbital calculations. Pseudorotation in phosphorus pentafluoride. «J. Amer. Chem. Soc.», 1972, 94, № 9, 3040—3047 (англ.)

(Эм.
спроси)

Полуэмпирическим методом МО ЛКАО в приближении псевдопотенциала (РЖФиз, 1971, 7Д135), учитываящем потенциалы соседних атомов и все валентные электроны (с учетом и без учета *d*-орбиталей атомов Р) исследовано электронное строение PF₃, PF₅ (I), PH₃ и PH₅. Для I рассмотрено большое число конфигураций. Приведены орбитальные энергии и проведен анализ заселенностей. На основании полученных результатов подробно обсуждена природа химич. связи в указанных соединениях и механизм внутримолекулярного обмена лигандами в I.

В. Л. Л.

Ф. 1972. 92

+3

☒

PF_3

1972

PF_5

HORN H.G.

U.S. Pat. No. 3,603,703; 1972, 95, 1972, 666-675.

Структура;
п. д. синт.

(cet. P_2F_4 ; III)

BF_3 , PF_3 , AsF_3 , NF_3 (cws. vocū.) 1972
13 15

Hoy A.R., Stone J.M.R., Watson J.K.G.
 $\times \overline{\text{III}} 2234$

J. Mol. Spectrosc., 1972, 42, N2, 393-
-9 (anew.)

Ambiguities in the harmonic
force fields of XY_3 molecules.

10  

 CA, 1972, 77, N2, 115477

BP-XII-2081

1972

PF₃⁺

PH₃⁺

Copy by J. P.

147086k Photoelectron spectroscopy and the geometry of the phosphine and phosphorus trifluoride molecular ions. Maier, J. P.; Turner, D. W. (Phys. Chem. Lab., Univ. Oxford, Oxford, Engl.). *J. Chem. Soc., Faraday Trans. 2* 1972, 68(4), 711-19 (Eng). Fine structure in the first band of the He(I) photoelectron spectra of PH₃ and PF₃ suggest that the ground ionic state of PF₃ is probably planar, but that PH₃ is pyramidal with a small inversion barrier. The bonding character of electrons in the 2e MO of PH₃ is discussed in terms of the second band in the photoelectron spectrum, its vibrational fine structure, and the Jahn-Teller splitting. A He(II) photoelectron spectrum of PF₃ showed a further ionization potential and gave a different intensity distribution.

C.A.

1972. 76.24

C.M. TANZEE PH₃ K, III

XIII - 2051

1972

PM_2 , PF_2 , PCl_2 , PF_5 , PCl_3 , PF_4 (kb. vcln.)
 POCl_3 , PO_2 , PO_3^2- , PO_3 , HPO_2^- , FPO_2^- (racem)

Hilleais fD., Thomson C.,

J. Chem. Soc., Faraday Trans. 2,
1972, 68 (Pt. 3), 435-43 (Chem.)

Complete neglect of differential
overlap (LSDO) calculations on small
radicals containing phosphorus

C.A., 1972, 76, v16, 902-975

10

1972

 PF_3

XIII-2381

102228h Centrifugal expansion constants of XY₃ molecules
of D_{3h} and C_{3v} symmetry. Timoshinin, V. S.; Godnev, I. N.
 (Ivanov. Khim.-Tekhnol. Inst., Ivanovo, USSR). *Izv. Vyssh. Ucheb. Zaved., Fiz.* 1972, 15(12), 141-3 (Russ). The progressive rigidity method (Timoshinin, V. S. and Godnev, I. N., 1971) for calcg. the centrifugal-expansion coeffs. of XY₃, mols. with comparatively heavy terminal atoms was applied to XY₃, mols. (X = P, As, Sb, Bi, or B and Y = F, Cl, Br, or I) having D_{3h} and C_{3v} symmetry. The results were in a good agreement with calcns. based on force const. data (Kredentser, E. I.; Sverdlov, L. M., 1969).

M. Hubik

C.A. 1973, 78 n16

(+) 19



PH_3 ; PF_3 ; PH_3^+ ; PF_3^+ (u.n., Ei, pacem) 1973

Aarons Z. Y., Guest M. F., Hall M. B.

Hillier I. H.,

XIII 2843; 4-984

J. Chem. Soc. Faraday Trans.

1973, Part 2, 69, N5, 643-647

Theoretical study of the (anis.)
geometry of PH_3^+ , PF_3^+ and their
ground ionic states.

Int. J. Quantum Chem., 1973, 10D 130

110

5 pp

1973

PF₃

Baybutt P. Good M.F.

Hillman T.H.

"Mol. Phys." 1973, 25, N5. 1025-1036.

(see HCN; II)

1973

PF₃

2 Д148. Сравнительное исследование методом МО инверсионного барьера в молекулах PF₂CN и PF₃. Hall William Roy, Намека Hendrik F. Molecular orbital study of PF₂CN and its inversion barrier as compared with PF₃. «Inorg. Chem.», 1973, 12, № 8, 1878—1880 (англ.)

По методу МО в приближении ППДП/2 проведен расчет инверсионного барьера в молекулах PF₂CN и PF₃. Показано, что молекула PF₂CN имеет две стабильные конфигурации: *цис* и *транс*, разделенные энергетич. барьером 35 ккал/моль. *Транс*-конфигурация стабильнее, чем *цис*, примерно на 1 ккал/моль. Имеет место существенное взаимодействие между 3d-орбиталями атома Р и 2p-орбиталями атома F, взаимодействие 3d-орбиталей атома Р с 2p-орбиталями атомов С и N существенно меньше. В хорошем согласии с эксперим. данными вычислены дипольные моменты для обеих конфигураций.

Э. Р. А.

(+) - 8

1974 № 2

PF₃

1973

Hargittai Istvan Mijkhoff Frans C.

"J.Mol.Struct."

1973, 16, N1, 69-77.

(cu-SOF₂; III)

ClOF_3 ; PF_3 ; SO_2F_2 ; PCl_3 ; PBr_3 ; PF_3 ; PI_3 ; NH_3 ; PH_3 ; ASH_3 ; SBH_3 / $\bar{x} 13790$ (смртукнгра) 1973

Hargittai I., Mijlhoff F.C.,
Chem. Weekbl., 1973, 69, N27, 9-10
(Neth.)

Prediction of molecular structure.

HO



CA, 1973, 79, N22, 129450g

40102-4262

Ex, Ch, Ph

 PF_3

XII-1244

29864

1973

1512

Eyde Robert G., Peel J. Barrie, Terauds Karl. Non-empirical valence-electron calculations on small molecules containing phosphorus or sulphur. "J. Chem. Soc. Faraday Trans.", 1973, Part 2, 69, N 11, 1563-1568 (англ.)

0013

1019 1021 006 (cu. SO_2 ; III) винити

PF_3

XII - 2100

1973

M.N.

103989u Vacuum ultraviolet spectra of fluorine and chlorine substituted trivalent phosphorus. McAdams, Mary Jane; Russell, B. R. (Dep. Chem., North Texas State Univ., Denton, Tex.). *Chem. Phys. Lett.* 1973, 18(3), 402-4 (Eng). The vapor-phase absorption spectra of PF_3 , PF_2Cl , PFCl_2 , and PCl_3 are reported in the vacuum uv spectral region, 2400-1200 Å. These results are compared with information obtained from photoelectron spectra. A brief discussion of the spectra in terms of analogous absorption regions and results from CNDO (complete neglect of differential overlap)/2 calcns. are given.

(+3)

18

C.A. 1973, 78 n16

40313.1981

Ch, TE, Ex-C

Pf₃ (PF₃) 1974
Pf₃, 29864 PF₃ X-4057

Aarons Leon J., Hillier Ian H., Guest
Martyn F. Theoretical study of the struc-
ture of some trigonal radicals. X///-2434

"J. Chem. Soc. Faraday Trans.", 1974,
Part 2, 70, N 1, 167-170 (англ.)

(C₄.CH₃; III) 0062 000

055

047 049

ВИНИТИ

41112.7841
Ch■, TC

40534

1974

PF₃ (дм³/х)
реплика № 47910

Alton E.R., Montemayor R.G., Parry R.W.

Preparation and structure of trifluoro-phosphine-trichloroalane and a study of related acid-base systems.

"Inorg. Chem.", 1974, 13, N 9

2267-2270

0231 ник

(англ.)

212 217-223

ВИНИТИ

PF
3

XII-2442

1974

2 Д381. Спектры комбинационного рассеяния паров, анализ контуров полос, кориолисовы постоянные, силовые константы и термодинамические функции тригалоидов V группы. Clark Robin J. H., Rippon David M. The vapor phase Raman spectra, Raman band contour analyses, coriolis constants, force constants, and values for thermodynamic functions of the trihalides of group V. «J. Mol. Spectrosc.», 1974, 52, № 1, 58—71 (англ.)

Получены спектры комб. рас. паров соединений типа XY_3 ($X=P$, As , Sb , $Y=F$, Cl , Br , J) при т-рах 22—365° С за исключением P_3 и SbF_3 . Изучены контуры полос. На основании строения контура и факторов деполяризации произведено переотнесение полос v_1 и v_3 $AsCl_3$. Сравнением рассчитанных контуров с огибающей неразрешенной на опыте полосы найдены колебательные частоты и кон-

суз. пост.

T. g. op

Ф. 1975. № 2

+30

17

станты кориолисова взаимодействия ξ_i . Вращательные постоянные вычислены из геометрии молекул. Значения ξ_i удовлетворяют правилу сумм и согласуются с данными ИК-спектроскопии. Величины ξ_i использованы для определения силовых постоянных вырожденных колебаний F_{33} , F_{34} , F_{44} . В приближении жесткого ротора и гармонич. осциллятора вычислены теплоемкость, энталпия и энтропия для т-р 100—1000° К. Библ. 39.

М. В. Тонков

PF_3

1974

4 Б218. Спектры комбинационного рассеяния в газо-
вой фазе, анализ контуров полос, кориолисовые постоян-
ные, силовые постоянные и значения термодинамических
функций тригалогенидов элементов V группы. Clark

Robin J. H., Rippon David M. The vapor phase
Raman spectra, Raman band contour analyses, coriolis
constants, force constants, and values for thermodynamic

и. и.

D.
I.

m. g. pp

(Cl, F, Br)

PX_3 ; ASX_3 ; SbX_3 ; BiX_3

(+10)

с. с. о. р. и. т.

☒

х. 1975. № 4

$X = Cl; F; Br; I.$

functions of the trihalides of group V. «J. Mol. Spectrosc.», 1974, 52, № 1, 58—71 (англ.)

Исследованы спектры КР молекул тригалогенидов Р, As и Sb в газовой фазе. Выполнён анализ неразрешенной вращательной структуры полос и по контуру полос дважды вырожденных колебаний оценены значения постоянных, кориолисова взаимодействия. По значениям частот и кориолисовых постоянных вычислены гармонич. силовые постоянные, а также термодинамич. функции рассматриваемых молекул. М. Р. Алиев

40403.3690

 PF_3 (V_i)

7974

TE, Ch

48536 02

Х4-4245

Cyvin S.J. Vibrational frequency shifts
 of free to complexed PF_3 : tetrakis(tri-
 fluorophosphine)-nickel. "Z. anorg.
 und allg. Chem.", 1974, 403, N 2, 193-199
 (англ., рез. нем.)

0077.EMI

061 062

ВИНИТИ

50106.7329
Ch, Ph, TC

29862 02 1974
PF₃(δ_0)(γ)(AP) *4-8018
VII-2899

Dean Christopher R.S., Finch Arthur,
Gardner Peter J., Payling David W.

Appearance and ionization potentials
of ions produced by electron-impact on
some phosphorus-fluorine compounds: the
phosphorus-phosphorus bond dissociation
energy in diphosphorus tetrafluoride.

"J.Chem.Soc.Faraday Trans.", 1974, Part I,
70, N. 11, 1921-1925 (англ.)

254 255 0257 0275 ПИК ВИНИТИ

1974

 PF_3 PF_2CN
(F_0)образование
ионов,
(F_0)

Х1-4216

ц.с.

А1 Д236. Ионизация электронным ударом трехфтористого фосфора и дифторцианфосфина. Наг-
ланд Р. В., Рэнкин Д. В. Н., Тхуппе Ж. С. Ж.
Ionisation by electron impact of phosphorus trifluoride
and difluorocyanophosphine. «Int. J. Mass spectrom. and
Ion Phys.», 1974, 13, № 4, 395—410 (англ.)

Масс-спектрометрич. способом изучено образование положит. и отрицат. ионов при ионизации PF_3 и PF_2CN электронами. Приводятся масс-спектры положит. и отрицат. ионов при энергии электронов 70 эв. Измерены потенциалы появления (в эв) для PF_3 : PF^+ (21,0); PF_2^+ (15,4); PF_3^+ (11,4); F^- (9,0 и 12,4); FF_2^+ (10,9); PF^- (11,3); PF_2^- (10,2), для PF_2CN : CN^+ (19,8); PF^+ (19,1); PF_2^+ (13,4); FCN^+ (15,7); PF_2CN^+ (11,7); F^- (4,7 и 9,1); CN^- (0,0, 4,5; 5,9 и ~9); FCN^- (4,5; 4,6 и 5,8). Оцениваются энергии диссоциации нескольких нейтральных и ионных компонент, среди прочих $D(\text{PF}_2-\text{CN}) < 3,4 \pm 0,5$ эв. Г. А.

97.1974. N 11

 +1 м.с.; +//

XI-4216

1974

PF_3

PF_2CN

(A. P.)

23 Б116. Ионизация трифторфосфина и дифторцианофосфина электронным ударом. Harland P. W., Rankin D. W. H., Thupple J. C. J. Ionisation by

electron impact of phosphorus trifluoride and difluorocyanophosphine. «Int. J. Mass spectrom. and Ion Phys.», 1974, 13, № 4, 395—410 (англ.)

Изучены масс-спектры положит. ионов (МСПИ) и отриц. ионов (МСОИ) PF_3 (I) и PF_2CN (II). Молек. ионы M^+ I и II последовательно теряют атомы F с образованием ионов PF_n^+ и PF_nCN^+ , соотв. ($n=2-0$). В МСОИ I присутствуют ионы PF_2^- , PF^- , F_2^- , P^- и F^- (максим. в МСОИ). В МСОИ II кроме этих наблюдаются также ионы PF_2CN^- , PF_2C^- , PFCN^- , FCN^- , CN^- (максим.) и C^- . Измерены потенциалы появления некоторых ионов в МСПИ и МСОИ I, II и определена энергия диссоциации связи $\text{P}-\text{CN}$, $D(\text{PF}_2-\text{CN}) \leq 3,4 \pm 0,5$ эв.

Ю. С. Некрасов

x. 1974. N 23

(+) 25 11

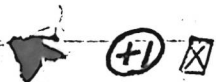
PF₃

1974

PF₂H

Kb. max.
paerem

68851f Electronic structures of phosphorus pentafluoride and tetrafluorophosphorane. Howell, James M.; Van Wazer, John R.; Rossi, Angelo R. (Dep. Chem., Vanderbilt Univ., Nashville, Tenn.). *Inorg. Chem.* 1974, 13(7), 1747-52 (Eng). Ab initio LCAO-MO-SCF calcns. were done on the PF₃ and PF₄H mols. by using moderately small Gaussian basis sets. By using the resulting wave functions, the MO's of these 2 mols. were interrelated with respect to their detailed electron d. distributions. An interrelation of this type was also obtained between the MO's of PF₅ and those of the PF₃ and OPF₃ mols.



C.A. 1974 81 N12

PF₃

XIII - 3113

1974

9437y Centrifugal distortion constants of phosphorus trifluoride. Rao, C. G. Rama; Murty, A. A. N. (Spectrosc. Res. Lab., Andhra Univ., Waltair, India). *Sci. Cult.* 1974, 40(7), 315-16 (Eng). The 3 centrifugal distortion consts. of PF₃ were calcd. by the method of D. Kivelson and E. B. Wilson (1952, 1953) and J. M. Cowling et al. (1957), giving $D_J = 7.3$, $D_{JK} = -7.67$, and $D_K = 3.97$ kHz. The moments of inertia were also calcd. giving $I_{20} = 64.42$ and $I_{22} = 104.05$ amu Å².

(u, n.)

C.A. 1975.82 n2

XIII-2963

1974

PF₃

7 Д454. Постоянные центробежного искажения трифторида фосфата. Rama Rao C. G., Murty A. A. N. Centrifugal distortion constants of phosphorous trifluoride. «Sci. and Cult.», 1974, 40, № 7, 315—316 (англ.)

По литературным данным для значений силовых постоянных вычислены значения постоянных центробежного искажения молекулы PF₃: $D_J = 7,3$, $D_{JK} = -7,67$, $D_K = 3,97$ кгц (эксперим. значения D_J и D_{JK} равны 7,84 и -11,9 кгц соответственно). М. Р. Алиев

(м.н)

о 1975 № 7

PF₃

XIII - 2963

1974

15 Б284. Постоянные центробежного искажения трифтторида фосфора. Rama Rao C. G., Migit A. A. N. Centrifugal distortion constants of phosphorous trifluoride. «Sci. and Cult.», 1974, 40, № 7, 315—316 (англ.)

С помощью известных данных об ат. массах, межъядерных расстояниях, углах связей и потенциальных постоянных выполнена на ЭВМ теор. оценка постоянных центробежного искажения молекулы PF₃. Получены значения постоянных в кгц: $D_J = 7,3$, $D_{JK} = -7,67$, $D_K = 3,97$. Первые две постоянные довольно хорошо согласуются с полученными на основе анализа миллиметрового вращательного спектра PF₃. Вычислены моменты инерции PF₃ в ат. ед. массы· \AA^2 : $I_{20} = 64,42$, $I_{22} = 104,05$.

С. Н. Мурзин

x 1975 N 15

40619.416

PF₃

1974

TC, Ph, Ch, MGU

41125

02

эмиссионный спектр *у 5516

Skolnik Edward G., Goodfriend P.L.

New emission bands from microwave discharges in argon containing phosphorus-fluorine compounds. "J. Mol. Spectrosc.", 1974, 50, N 1-3, 202-204

(англ.)

0431 №31

105 · 109

0123

ВИНИТИ

50120.18413

TC

41125 02

1974

PF₃

* 45-7955

Straten A.J.van, Smit W.M.A.

Notes on the dipole-moment

derivatives of PF₃.

"J.Mol.Spectrosc.", 1974, 53, N 2, 315-316

(англ.)

0282 ник

258 260

0274

ВИНИТИ

PF_3

XIII-2594

1974

(Kb. M. pacet)

[12921j Self-consistent charge and configuration molecular orbital calculations on phosphorus trifluoride. Wensky, D. A. (Inst. Experimentalphys. IV, Ruhr-Univ. Bochum, Bochum, Ger.). *J. Chem. Phys.*, 1974, 60(1), 1-11 (Eng). A semiempirical self-consistent charge and configuration (SCCC-MO) calen. was performed on the PF_3 by using the same procedure as N.A. Beach and H.B. Gray (1968) used for CO . Various types of improvements over the std. Wolfsberg-Helmholtz approxn. were tested. The overlap integrals were calcd. by using variety of at. wave functions. The best results of SCCC-MO calen. were compared with 2 ab initio calens. and were found to be in better agreement with the available exptl. data.

C.A.1974.80.N20

PF₃

XIII-2594

1974

14 Б29. Расчеты молекулярных орбиталей PF₃ с самосогласованием по зарядам и конфигурациям. Wensky D. A. Self-consistent charge and configuration molecular orbital calculations of PF₃. «J. Chem. Phys.», 1974, 60, № 1, 1—11 (англ.)

(н.п.)

Представлены результаты полуэмпирического расчета МО молекулы PF₃ методом Вольфсберга—Гельмгольца с самосогласованием по зарядам и конфигурациям в базисе 3s, 3p, 3d-АО P; 2s-, 2p-АО F. Вычисленные энергии занятых МО хорошо согласуются с эксперим. вертикальными потенциалами ионизации. Предсказанное распределение зарядов и дипольный момент также хорошо совпадают с экспериментом. Показано, что найденная схема орбитальных энергий приводит к правдоподобному объяснению наблюдаемого спектра поглощения. Кроме того, рассчитанные виртуальные орбитали хорошо согласуются с другими имеющимися хим. и спектроскопич. данными для PF₃.

Резюме

ж.1974. №14.

PF₃

XIII-2594

1974.

расчеты

7 Д124. Расчеты PF₃ методом молекулярных орбит-
лей с самосогласованием по зарядам и конфигурациям.
Wensky D. A. Self-consistent charge and configura-
tion molecular orbital calculations on PF₃. «J. Chem.
Phys.», 1974, 60, № 1, 1—11 (англ.)

ф. 1974 № 7

50515.1205

Ph, Ch, TC

правиль. расчетами.
407/1
PF₃ и ее. нот.

1975

*4-8839

Coffey Patrick, Ewig Carl S., van Wazer
John R. A pseudopotential SCF method
for valence-only molecular calculations.

"J. Amer. Chem. Soc.", 1975, 97, N7, 1656-

1662 (англ.) (смр. С2, III)

0364 ПИК

346 347 356

ВИНИТИ

50919.2003

Ph, TC, MGU, Ch

PF_3^-

41197

1975

* 4-10022

Colussi, A.J., Morton J.R., Preston K.F.

Electron spin resonance spectra of certain
fluorohydride radicals of phosphorus, ar-
senic, and antimony.

"J. Phys. Chem.", 1975, 79, N 17, 1855-
1858 (англ.)

0451 ник

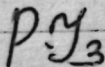
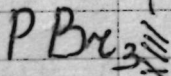
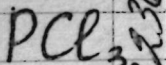
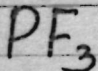
425 428

149

ВИНИТИ

3 Д119. Использование теории псевдопотенциала для изучения молекулярной структуры. Галогениды фосфора. Ewig Carl S., Coffey Patrick, Van Wazer John R. Use of pseudopotential theory to study molecular structure. The phosphorus halides. «Inorg. Chem.», 1975, 14, № 8, 1848—1851 (англ.)

1975



геометрия
сил. пост.
Х 1976 № 3

Методом ССП с аппроксимацией внутренних электронных оболочек псевдопотенциалом Филлипса—Клейнмана рассчитаны равновесная геометрия, силовые постоянные, заряды на атомах по Малликену и вертикальные потенциалы ионизации галогенидов фосфора: PF_3 , PCl_3 , PBr_3 и PI_3 . Базис состоял из минимального набора слэтеровских ф-ций, аппроксимированных сгруппированными по три гауссовыми ф-циями с включением и без включения d -орбиталей на атоме фосфора. Псевдопотенциал строился на основе приближенных атомных хартри-фоковских АО. Для молекулы PF_3 проведено сравнение характеристик, полученных в приближении псевдопотенциала с их эксперим. значениями и с теоретич. значениями, рассчитанными методом ССП с учетом всех электронов.

А. Дементьев

*-10361

(+) Ешю ! (+) ☐

PF_3

XIS-10361

1975

PCl_3

(configur., cur. noet.)

PBr_3

Py_3

85219q Use of pseudopotential theory to study molecular structure. Phosphorus halides. Ewig, Carl S.; Coffey, Patrick; Van Wazer, John R. (Dep. Chem., Vanderbilt Univ., Nashville, Tenn.). *Inorg. Chem.* 1975, 14(8), 1848-51 (Eng). The theory of ab initio pseudopotential SCF methods is applied to the 4 PX₃ phosphorus halides. The geometries, force consts., orbital energies, Mulliken populations, and dipole moments are calcd. using a min. Slater basis set. Detailed comparisons are made with expt. where possible and, in the case of PF_3 , with a conventional SCF calcn.

C.A. 1975, 83 n 10

(+3)

ХУ-10361

1975

PF_3

PCl_3

PBr_3

PJ_3

5 Б47. Применение теории псевдопотенциала для изучения молекулярной структуры. Галогениды фосфора. Ewig Carl S., Coffey Patrick, Van Wazer John R. Use of pseudopotential theory to study molecular structure. The phosphorus halides. «Inorg.-Chem.», 1975, 14, № 8, 1848—1851 (англ.)

Методом МО ЛКАО ССП в валентном приближении с использованием псевдопотенциалов для учета эффектов оставных электронов проведен расчет электронного строения галогенидов фосфора PF_3 , PCl_3 , PBr_3 , PJ_3 в миним. базисе сгруппированных гауссовых ф-ций, а также в базисе, расширенном за счет d -ф-ций, центрированных на атоме Р. Псевдопотенциал представлен в виде суммы электростатич. потенциала, аппроксими-

Энергетическое
строение.

Х 1946 N5

(43)

рованного аналитич. ф-цией простого вида и потенциала, включающего в себя проектор на оставные ф-ции. Полученные данные по геометрии, силовые постоянные, энергии МО, дипольные моменты и данные анализа заселенностей по Майлигену сопоставлены с эксперим. данными и (в случае PF_3) с результатами неэмпирич. МО ЛКАО ССП расчета в миним. и расширенном базисах. Согласие найдено удовлетворительным. Приведена карта полной электронной плотности псевдоволновой ф-ции системы PF_3 в сравнении с полной электронной плотностью валентных орбиталей, полученной неэмпирич. методом.

О. Гриценко

60309.7547

Ch, Ph, TC

PF₃ 40534

1 Намесиз № 9-11811

1975

Cavell Ronald G. Core photoelectron spectroscopy of some volatile phosphorus halides. "Inorg. Chem.", 1975, 14, N 11, 2828-2831 (англ.)

(cell. PF₅; "—")

552 552

558 0566 никванити

PF₃

OILM 4468

1975

PF₄

KULKARNI K.S., et al

Indian J. Pure and

Appl. Phys. 1975, 13,
N II, 780-2.

(paeret
H. chogu.)



(See Cf₃) II

50905.1303

Ph, TC, MGU

34469

PF₃ XIII-3480 X 4-10011

1975

Ramaswamy K. Sridharan T. Unique force
fields of some XY₃-type molecules.

"Indian J. Pure and Appl. Phys.", 1975,

13, N2, 98-100. (англ.)

(Cul. Nit₃; III.)

0444 РИК

414 414

ВИНИТИ

1975

PF₃

PF₂

PF

(y)

mass enckp

20501f Energetics of the ionization and fragmentation of phosphorus trifluoride by electron impact. Torgerson, David F.; Westmore, John B. (Cyclotron Inst., Texas A and M Univ., College Station, Tex.). *Can. J. Chem.* 1975, 53(6), 933-8 (Eng). Relative intensities and appearance potentials of several pos. ions in the mass spectrum of PF₃ are reported as well as an ionization efficiency curve for F⁻, the only neg. ion of significant intensity. Probable ion fragmentation pathways are proposed, together with heats of formation of some pos. ions, and ionization potentials for PF₃, PF₂, and PF. The results are compared with available data for other Group V halides.

+2

C. H. 1975 83 n2

1976

PF₃

ЗД176. Применение правила сумм для интенсивности полос к молекуле PF₃. Bassi A. B. M. S., Gruns Roy E. A. G intensity sum rule application: PF₃. «Ciéncia e cultura», 1976, 28, № 6, 664—666 (англ.; рез. порт.)

Правило сумм для интенсивности ИК-полос, полученное из свойств матрицы G кинематич. коэф. применено к эксперим. значениям интенсивности ИК-полос молекулы PF₃. Исправлены ошибки вычисления матрицы L форм колебаний и найдены новые значения производных дипольного момента для PF₃. Показано, что правило сумм для интенсивности дает лучший критерий правильности матрицы L , чем соотношение $LL = G$.

М. Р. Алиев

Ф. 1977 № 3

Pf₃

Summea 4941 1976

Böhlig Heinz.

(act. 1975)

Z. Chem. 1976 16;
NII, 430-5.



(act. H₂O; III)

60312.8779

Ch, Ph, TC, MGU

PJ₃ 41125
(н.н)

1976

051.4396

Duncan J. Lindsay.

The centrifugal distortion constant D_K
of symmetric top molecules.

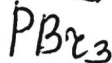
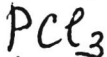
"J. Mol. Spectrosc.", 1976, 60, N 1-3,
225-238 (англ.)

646-658

0878 № 100

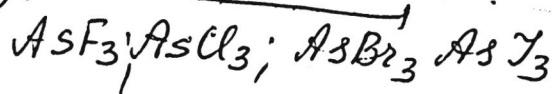
ВИНИТИ

1976



(cont. noce.)

87: 92750s An overlooked parameter in molecular vibrations,
Mohan, S.; Thirugnansambandam, P. (Dep. Phys., Pres. Coll
Madras, India). *Acta Cienc. Indica* 1976, 2(4), 359-63 (Eng.
By extending the previously reported theory (T. and M., 1974),
to include every internal coordinate (esp. the mutual reflex
angles in the mol. plane) in the anal., all of the independent
force consts. (stretching, bending, interaction) were calcd. for
 AX_3 [A = P or As; X = F, Cl, Br, or I].



C.A. 1977. 87 n12



(+?) 18

PF₃, PCl₃, PBr₃, PT₃ № 9-13546 1976

11 Д131. Расчеты три- и пентагалогенидов элементов 5-й группы неэмпирическим методом ССП МО в валентном приближении. Muggell John N., Scollaghy Carole E. Non-empirical valence-shell self-consistent field molecular-orbital calculations on group 5 tri- and penta-halides. «J. Chem. Soc. Dalton Trans.», 1976, № 9, 818—822 (англ.)

Неэмпирическим методом ССП МО ЛКАО в валентном приближении исследовано электронное строение три- и пентагалогенидов N, P, As и Sb. Использован миним. базис орбиталей слэтеровского типа, каждая из которых представлена группой из трех гауссовских ф-ций. Проведены также расчеты с включением в базис d-АО элементов 5-й группы. Для PF₃ (I) и PCl₃ (II) сопоставление полученных результатов с данными точных неэмпир. расчетов в том же базисе показало удовлетворительность использованного метода: энергии большинства занятых МО отличаются от точных на ~0,5 эв, хотя для близких к остову и обладающих большими энергиями орбиталей различия больше. Также близкими друг к другу оказались энергии диссоциации:

Do, 3,
геношерф.

ф. 1976
N 11

715

0,4207 ат. ед. точная и 0,3945 приближенная (эксперим. значение 0,5777) в *spd*-базисе для I и 0,1150 и 0,0769 для II. В то же время использование плохого базиса сильно ухудшает энергию диссоциации (0,0314 для I в *sp*-базисе). Рассчитанная равновесная геометрия перечисленных соединений хорошо согласуется с эксперим. данными. Для энергий диссоциации в большинстве случаев получены заниженные значения, однако для нестабильных соединений NF_3 , NCI_5 и $AsCl_5$ эти энергии отрицательны. Потенциалы ионизации занижены, однако воспроизводят качественные закономерности для трифтоторидов и трихлоридов. Также исследовано электронное строение различных тригонально-бипирамидальных изомеров $PCl_{5-n}F_n$, где $n=1 \div 4$, и показано, что для всех соединений предпочтительно экваториальное положение атомов F.

В. Л. Лебедев

PF₃

оттисок 5604

1976

оттисок из альбома

23 Б247. Полоса 2v₄ молекулы PF₃. Reichman
Sandor, Smith D. Foss, Jr. The 2v₄ spectrum of
PF₃. «J. Mol. Spectrosc.», 1976, 59, № 3, 502—504.
(англ.)

Измерена вращательная структура ИК-полосы 2v₅
молекулы PF₃ при разрешении 0,05 см⁻¹. Анализ
спектра выполнен с учетом *l*-резонанса и определены
значения «невозмущенных» резонансом вращательных,
кориолисовых и центробежных постоянных. М. Р. Алиев

Х. 1976, № 23

PF₃

Entrada en Xerógrafo 30 de Noviembre 1976

(9/10)
(2.14)

Entrevista 5604

184: 128306f The $2\nu_4$ spectrum of phosphorus trifluoride. Reichman, Sandor; Smith, Donald Foss, Jr. (Dep. Chem., California State Univ., Northridge, Calif.). *J. Mol. Spectrosc.* 1976, 59(3), 502-4 (Eng). The $2\nu_4$ spectrum of PF₃ was analyzed and compared with that of NF₃; the following differences are noted: (1) the NF₃ spectrum had both a parallel and perpendicular component but the intensity of the perpendicular component of the PF₃ spectrum is negligible; (2) in the case of the NF₃ spectrum hot bands could be deflected in the anal. but this was not possible in the case of PF₃. To compute the $3\nu_4 - \nu_4$ spectrum it was necessary to include *t*-type resonance for both lower and upper states. The hot band $3\nu_4 - \nu_4$ consist of 2 sets of parallel transitions, one connecting the state ψ_+ and the other connecting the state ψ_- . Some band consts. of the $2\nu_4$ band of PF₃ were detd.; the value ν_0 of the main band, the sepn. of the main and hot band, $4X\mu$, the value of g_{44} , and value of the C-C".

C.A. 1976

84 N-18

ДТ 5604 1976

PF₃

11 Д455. Спектр PF₃ в области полосы 2v₄. Reichman Sandor, Smith D. Foss, Jr. The 2v₄ spectrum of PF₃. «J. Mol. Spectrosc.», 1976, 59, № 3, 502—504 (англ.)

Получен спектр ИК-поглощения газообразного PF₃ при давлении 60 мм рт. ст. с разрешением 0,05 см⁻¹ в области 670—720 см⁻¹. Наблюденные линии отнесены к колебательно-вращательным переходам обертона 2v₄ и соответствующему ему горячего перехода 3v₄ ← v₄. Описан метод учета l-резонанса в верхнем и нижнем колебательных состояниях горячего перехода и определены соответствующие ему матричные элементы дипольного момента. Анализ полосы обертона аналогичен описанному ранее анализу полосы 2v₄ NF₃. С использованием литературных значений вращательных постоянных рассчитан спектр и путем сравнения его с полученным в опыте определены частоты колебательных переходов, ангармоничность X₄₄, параметр l-резонанса g₄₄ и изменение вращательной постоянной C при колебательном возбуждении. Библ. 6.

М. Тонков

(Мин)

Ф. 1976

N 11

BF_3 , PF_3 , SiF_4 , $SiClF_3$, SiF_2Cl_2 1976

SiF_3Cl_3 (V_{kp} , обзор) XII-3474

Сладков Ч.Б.

Редколлегия „Ж. физ. химии АН ССР“

М., 1976, II с. Рукопись деп в ВИНИТИ Запр.

1976, №209-76Дн. Соотношение между паро-
метрическими состояниями ксенона и ксенина в
криогенической форме и также ксенин

РДНХим, 1976

166818 Дн

Mx



10

61227.2137.

PF₃ 41125

1976

Ch. MGU. Ph. TC

X 43-15924

van Straten A.J., Smit W.M.A. Bond
charge parameters from integrated infrared
intensities. "J. Mol. Spectrosc.", 1976,
62, №3, 297-312 (англ.)

077.8 мкм

734 739 670

ВИНИТИ

PF₃

XIII - 5678

1977

Alain Y.P. Alix et
Nageswaran M.,

C.R. Acad. Sc. Paris, 1977,
285, 141 - 144.

Optique Moléculaire. Étude

des dérivées du moment
dipolaire dans la théorie
des intensités infrarouges.
Valeurs maximales des
 $(dy/dz)^2$. Note.

1977

PF₃

88: 28112d Use of D_J, D_{JK} constants for the unique fixing of intramolecular forces in XY₃ pyramidal molecules. Ananthakrishnan, T. R.; Paul, C. M.; Girijavallabhan, C. P. (Dep. Phys., Univ. Cochin, Cochin, India). *Pramana* 1977, 9(4), 329-37 (Eng). A math. formalism was developed to evaluate all the possible sets of intramol. force fields fitting fundamental vibrational frequencies and centrifugal distortion consts. in the case of XY₃ pyramidal type mols. The method is applied to PF₃ mol. The results showed as many as 4 sets of force fields fitting the exptl. data.

61. 17;
Cited. NOCT.

C.A., 1978, 88, 84

PF₃

статьи 5290

1977

24 Б267. Микроволновые резонансные переходы l -типа в $v_4=1$ состоянии PF₃. Детальный анализ взаимодействий и молекулярная структура. Kawashima Yoshiyuki, Cox A. Peter. Microwave l -type resonance transitions of the $v_4=1$ state in PF₃. Detailed interactions and molecular structure. «J. Mol. Spectrosc.», 1977, 65, № 2, 319—329 (англ.)

На штарковском спектрометре с частотой модуляции 100 кГц исследованы резонансные переходы l -типа в $v_4=1$ состоянии PF₃ ($T=298^\circ\text{K}$, $L=6\text{ м}$). Расщепления, вызванные взаимодействием l -типа ($\Delta l=2$, $\Delta K=-4$), наблюдаются вплоть до переходов $I=36$. Обнаружены «запрещенные» штарковские переходы для $K=3$ и $I=24—28$. Частоты «запрещенных» штарковских переходов, экстраполированные к нулевому штарковскому полю, отличаются от расчетных частот. Это различие объясняют взаимодействием ω -типа ($\Delta l=0$, $\Delta K=6$).

д. 1977 № 24

Установлено, что в результате случайного вырождения уровней с $I=30$, $K=0$ и $K=3$ состояния ($I=30$, $K=1$, $l_4=1$, —) и ($I=30$, $K=2$, $l_4=-1$, —) возмущены взаимодействием r -типа, при этом в спектре проявляются два новых «запрещенных» перехода ($\Delta l=2$, $\Delta K=-1$). Из анализа спектра получены след. значения молек. постоянных (в Мгц): $C_4=4785,965$, $(C\xi)_4=-3010,86$, $q_4=-29,49308$, $|r_4|=2,9452$, $D_{qI}=0,16009 \cdot 10^{-3}$, $D_{qK}=-0,293 \cdot 10^{-3}$, $n_j=-0,00653 \cdot 10^{-3}$, $n_k=0,587 \cdot 10^{-5}$, $\tau_4=-0,64807 \cdot 10^{-4}$, $\omega_4=1,6 \cdot 10^{-9}$. Определены параметры равновесной ядерной конфигурации, к-рые равны: $r(P-F)=1,561 \pm 0,001$ Å и $\langle FPF \rangle = 97,7 \pm 0,2^\circ$.

А. М. Шаповалов

PF₃

10 Д539. Микроволновые переходы *l*-резонансного типа в состоянии $v_4=1$ молекулы PF₃. Детальный анализ взаимодействий и молекулярная структура. Kawashima Yoshiyuki, Cox A. Peter. Microwave *l*-type resonance transitions of the $v_4=1$ state in PF₃. Detailed interactions and molecular structure. «J. Mol. Spectrosc.», 1977, 65, № 2, 319—329 (англ.)

1977
7

В диапазоне 8—40 Гц исследован микроволны спектр молекулы PF₃. Идентифицированы новые линии переходов между компонентами *l*-удвоения вращательных уровней с $J=17 \div 36$ первого возбужденного состояния колебания v_4 . Анализ спектра выполнен с учетом кориолисова взаимодействия, включая его зависимость от вращательных квантовых чисел, квартичного центробежного искажения и недиагональных *l*-резонансных элементов матрицы колебательно-вращательной энергии с $\Delta K=2$ и $\Delta l=1$ и 2. Обнаружены запрещенные переходы, разрешаемые за счет *l*-резонансных матричных элементов. Определены значения 9 констант взаимодействий. Обнаружены аномалии в штарковском расщеплении линий с $K=3$, обусловленные недиагональными матричными элементами с $\Delta K=6$. Вычислены структурные r_0 , r_z - и r_e -параметры. Для равновесной r_e -структур получено: Р—F = 1,561 Å, FPF = 97,7°. М. Р. Алиев

М. Р.

2 (осенний)

*Ф. 1977
N 10*

Октябрь 5290

PF₃

ommecu 5290

1977

*confyKF,
Nafacu.*

S.E. 179989e. Microwave *l*-type resonance transitions of the $v_4 = 1$ state in phosphorus trifluoride. Detailed interactions and molecular structure. Kawashima, Yoshiyuki; Cox, A. Peter (Dep. Phys. Chem., Univ. Bristol, Bristol, Engl.). *J. Mol. Spectrosc.* 1977, 65(2), 319-29 (Eng). Observation of the direct *l*-type resonance transitions in the microwave spectrum of the $v_4 = 1$ state of PF₃ was extended to $J = 36$. The *w*-type interaction, ($\Delta l = 0$, $\Delta K = 6$), was found from measurements on the forbidden Stark transitions in the $K = 3$ series. Also in this series, a close accidental degeneracy was found between $J = 30$, $K = 3$ and 0, leading to new zero-field forbidden transitions through the *r*-type interaction ($\Delta l = 2$, $\Delta K = -1$) and to the detn. of the C rotational const. Nine spectroscopic parameters were detd. by using 140 obsd. frequencies including 2 forbidden transitions. After suitable correction, the *B* and *C* consts. were used to det. the r_0 , r_z , and r_e structures for PF₃. The equil. structure is estd. to be P-F = 1.561 ± 0.001 Å and $\angle FPF = 97.7 \pm 0.2^\circ$.

C. A. 1977. 86 n24

III - 4263

10/77

PF₃

7 Д250. Средние амплитуды, постоянные кориолисова взаимодействия и центробежного возмущения некоторых пирамидальных XY₃ галоидов. Mohan S. Mean amplitudes, Coriolis coupling constants and centrifugal distortion constants of some pyramidal XY₃ halides. «Acta phys. pol.», 1977, A52, № 5, 747—751 (англ.)

Приведены результаты вычислений по известным из литературы данным о структурных и силовых постоянных молекул PF₃, PCl₃, PBr₃, PI₃, AsF₃, AsCl₃,

AsBr₃, AsJ₃, среднеквадратичных и средних амплитуд колебаний, кориолисовых постоянных и постоянных центробежного возмущения для этих молекул.

Р. Мухтаров

(77)

9/1978, N7

PF₃

XIII - 4263

1977

10 Б72. Средние амплитуды, постоянные кориолисова взаимодействия и постоянные центробежного искажения некоторых пирамидальных галогенидов типа XY₃. Mohan S. Mean amplitudes, coriolis coupling constants and centrifugal distortion constants of some pyramidal XY₃ halides. «Acta phys. pol.», 1977, A 52, № 5, 747—751 (англ.)

Рассчитаны средние амплитуды колебаний, постоянные кориолисова взаимодействия и постоянные центробежного искажения D_I , D_{IK} и D_K' для молекул PF₃.

PCl₃, PB₃, PJ₃, AsF₃, AsCl₃, AsBr₃ и AsI₃ из наборов силовых постоянных, найденных ранее с помощью метода кинетич. постоянных. Отмечено хорошее согласие вычисленных молек. постоянных с результатами ранее проведенных расчетов и с эксперим. данными. Для исследованного ряда молекул найдена корреляция средних амплитуд колебаний с силовыми постоянными и электроотрицательностями. Сделан вывод о фундаментальной роли кинетич. постоянных в молек. динамике, позволяющих получить приемлемые наборы ряда молек. характеристик.

Ю. Н. Панченко

М.Н.
С.И. пост.

(18)

(+6)

Х. 1978, N10

PF₃

[#43-1893D]

1944

Schmiedekamp A. et al.

"J. Chem. Phys." 1944, 66
N12, 5469-5476 (ams.)

220.427.P.
M.N.

(corr. NH₃; \bar{v})

PF_3

PCl_3

PBr_3

$\text{SF}_3\text{O}_2\text{P}$,

Mn

Pawar et al.

Lokmanee 8416 | 1978

Asundi R.K., et al.

Indian J. Pure and Appl.

Phys., 1978, 16, p. 142-150.

1978

PF₃

Brown, Roy E., et al
J. Chem. Phys. 1978,
68(12), 5448-50

спектр
спектр

all. NF₃ - III

PF_3

оттиск 6542

1978

ТБ132. Исследование свойств и реакций трифтори-
~~да~~ фосфора в газовой фазе методом ионного цикло-
 тронного резонанса. Энергетика образования PF_2^+ ,
 PF_4^+ , HPF_3^+ и CH_3PF_3^+ . Corderman Reed R.,
 Beauchamp J. L. Properties and reactions of phospho-
 rous trifluoride in the gas phase by ion cyclotron re-
 sonance spectroscopy. Energetics of formation of PF_2^+ ,
 PF_4^+ , HPF_3^+ , and CH_3PF_3^+ . «Inorg. Chem.», 1978, 17,
 № 6, 1585—1588 (англ.)

Методом двойного ионного циклотронного резонанса
 исследованы ионно-молек. р-ции с участием PF_3 . Для
 средства к протону (СП) PF_3 получено значение $160 \pm$
 ± 5 ккал/моль, из к-рого энергии гомолитич. диссоциа-
 ции связи $D(\text{PF}_3^+ - \text{H})$ оценена в 113,2 ккал/моль. Ин-
 терпретированы относит. величины СП энергий диссо-
 циации NH_3 , NF_3 , PH_3 и PF_3 , а также энергий разры-
 ва связей $D(\text{B} - \text{H})$ изоэлектронных нейтр. аналогов
 BH с учетом вкладов индуктивного взаимодействия и

76



с.и. не забыть

2.1979.11

сверхуражения, включающих $p_{\pi}-d_{\pi}$ -связывание HPF_3^+ . Исследованы ионно-молек. PF_3 в смеси с SiF_4 , BF_3 , SF_6 , NF_3 , CH_3 и $(\text{CH}_3)_2\text{CO}$. Установлено, что в смеси PF_3 с CH_3F образуются ионы CH_3PF_3^+ , теплота образования к-рых $\Delta H(\text{CH}_3\text{PF}_3^+) = -8,5 \pm 5$ ккал/моль. Р-ция PF_3^+ с NF_3 приводит в основном к образованию PF_4^+ . Добавление следовых кол-в ацетона к смеси PF_3 с NF_3 приводит к образованию ионов $(\text{CH}_3)_2\text{CF}^+$ в 4-центровой р-ции, в к-рой кислород карбонильной группы обменивается на F^+ из PF_3^+ и PF_4^+ . Получена оценка теплоты образования PF_4^+ . Из данных по ионно-молек. р-циям в смесях PF_3 с SiF_4 , BF_3 , SF_6 и NF_3 получено значение энергии разрыва связи PF_2^+-F $281,4 \pm 6,1$ ккал/моль.

Е. Николаев

PF_4^+ ; $\text{CH}_3\text{PF}_3^+ (\Delta H_f)$

тры

$\text{NH}_3 \cdot \text{NF}_3$; PH_3 (A_4^+ , D_6)

PF_3^+ (энергия разр. связь PF_2^+-F)

P.F.₃

1948

Kollman Peter A.

J. Amer. Chem. Soc., 1948,
100, N^o 10, 2974-84

memorandum
распространение
записок



coll. H₂O - III

PF₃

ОМНИСИ. 7204

10 Б235. Ангармоническое силовое поле трифторида фосфора из миллиметровых спектров колебательно возбужденных состояний. Small Colin E., Smith John G. The anharmonic force field of phosphorus trifluoride from the millimeter wave spectra of vibrationally excited states. «J. Mol. Spectrosc.», 1978, 73, № 2, 215—233 (англ.)

Сост. автор.

ЛГРН.

Измерен в области частот от 15 до 250 Гц вращательный спектр трифторида фосфора, PF₃, в основном и во всех четырех возбужденных колебательных состояниях. Вращательные параметры в основном колебательном состоянии равны $B = 7819,996$ (1) Мгц, $D_J = 7,8466$ (35) кгц, $D_{JK} = -11,758$ (14) кгц и уточняют полученные ранее данные. Анализ спектров в возбужденных колебательных состояниях выполнен с учетом кориолисова резонанса между состояниями v_1 и v_3 и эффектов

XIII - 4026

2.1989 № 10

ангармонизма. Для всех состояний определены вращательные постоянные, постоянные центробежного искажения и константы резонансных взаимодействий. На основе известных ИК-колебательных частот, постоянных центробежного искажения и счетом эффектов ангармонизма кориолисова взаимодействия определены постоянные силового поля PF_3 . Полученные данные согласуются с известными результатами и показывают влажность учета ангармонизма при расчете силового поля PF_3 . Результаты расчетов сопоставлены с данными для AsF_3 .

С. Н. Мурзин

1978

Pfz

6 Д255. Определение ангармонического силового поля трифтторида фосфора из миллиметровых спектров колебательных возбужденных состояний. Small Colin E., Smith John G. The anharmonic force field of phosphorus trifluoride from the millimeter wave spectra of vibrationally excited states. «J. Mol. Spectrosc.», 1978, 73, № 2, 215—233 (англ.)

брюссельский спектр

Получены миллиметровые вращательные спектры тетрафторида фосфора. Измерены частоты 75 переходов в основном колебательном состоянии, 45 переходов в состоянии $v_2=1,100$ переходов в состоянии $v_4=1$ и 85 переходов в комбинированном состоянии $v_1=1, v_3=1$. Все частоты отнесены к определенным комбинациям квантовых чисел J и K . Они использованы для вычисления вращательных постоянных B_v, D_J, D_{JK} в основном состоянии и в состояниях $v_1=1, v_D=1$ типа A_1 и многих вращательных постоянных в состояниях E с $v_3=1$ и $v_4=1$. Рассчитаны постоянные центробежного искажения и Кориолиса. По значениям частот колебательных переходов, постоянных центробежного искажения и Кориолиса вычислены гармонические силовые постоянные и нулевые колебательные частоты. Все эти данные использованы для определения постоянных ангармоничности и кубических силовых постоянных. В расчете

Библиотечный каталог
ХХII -

Ф.1649.№6

учтены резонанс Кориолиса между состояниями v_1 и v_3
и отклонение от правила сумм для постоянных Ко-
риолиса, обусловленное ангармонич. резонансом.

М. А. Ковнер

ожеъ
ещеъ

PF₃ ornacea 6521 1978

Sullivan S. A. et al.

(80) Inorg. Chem., 1978, 17 (6)

1589 - 95

PF₃

Omnibus 7207 1978.

Weller Th; et al.

Baileya
sulcicava

Acta chim. Acad.
Sci. hungar., 1978,
98 (3) 297 - 302.

PF₃

Lemire 8912

1979

Arnold T.H. et al.

cell. no. 67.
v_i
rb. sur. faces.

J. Mol. Spectrosc.
1979, 78(2), 267-76.

cell. SO₂-III

PF₃

14/10/80

6 Б118. Фотоэлектронная спектроскопия комплексов переходных металлов. Hillier Ian H. Photoelectron spectroscopy of transition metal complexes. «Pure and Appl. Chem.», 1979, 51, № 11, 2183—2195 (англ.)

Фотоэл.
спектр.

03.04.1980

Обсуждены проблемы интерпретации фотоэлектронных спектров (ФЭС) с помощью неэмпирич. расчетов методом MO ЛКАО, возможность использования теоремы Купменса, учет релаксации и многоэлектронных эффектов. Основное внимание уделено обсуждению ФЭС комплексов переходных металлов. Для больших комплексов, недоступных неэмпирич. расчетам, рассмотрена возможность интерпретации ФЭС на основе предв. сопоставления теории и эксперимента для свободных лигандов и их простых соединений, моделирующих связь с центральным атомом; в кач-ве примера рассмотрены ЭФС PF₃, OPF₃, Ni(PF₃)₄ и Pt(PF₃)₄. На примере ферроцена, Ni(CO)₄ и Fe(CO)₂(NO)₂ обсуждены нарушения теоремы Купменса и необходимость учета релаксации орбиталей при ионизации. Показана необходимость применения метода КВ для учета многоэлектронных эффектов — на примере комплексов с кратными связями Mo₂(O₂CMe)₄ и Cr₂(O₂CMe)₄. М. Г.

(+3) А

2.1980.№6

PF_3

Lommel 9315)

1979

mercedos.

bzauwog.

EMP

Jameson C.Y.; et al.

J. Phys. Chem., 1979,
83 (26), 3372 -78.

PF₃

1979

Крунин А.Ф., агр.

(ΔV_c)

изд. Всесоюз. науч.-исслед. завед.;
1979; 22(7); 901-2.

(элл. ΔSF₃; $\tilde{\text{--}}$)

PF₃

XIII-5541

1979

AsF₃

4 Д213. Определение геометрии молекул по значениям постоянных центробежного искажения. Molecular geometry using centrifugal distortion constants. Paul C. M., Girijavallabhan C. P. «Nat. Acad. Sci. Lett.», 1979, 2, № 6, 237—239 (англ.)

По эксперим. данным для постоянных центробежного искажения D_J и D_{JK} с использованием известных значений силовых постоянных вычислены структурные параметры молекул PF₃ и AsF₃: определяются два

набора значений длины связи R из D_J и D_{JK} , соответственно, при различных значениях валентного угла α , строятся две кривые зависимости R от α , точка пересечения которых дает значения R_e и α_e .

М. Р. Алиев:

(+)



ф. 1980 № 4

1979

XIII - 5541

PF₃AsF₃

92: 47588n Molecular geometry using centrifugal distortion constants. Paul, C. M.; Girijavallabhan, C. P. (Dep. Phys., Univ. Cochin, Cochin, India). *Natl. Acad. Sci. Lett. (India)* 1979, 2(6), 237-9 (Eng). A method is suggested to evaluate the bond length and bond angles of pyramidal XY₃ type mols. from centrifugal distortion consts., rotational consts., and fundamental vibrational frequencies. It is used to evaluate the geometry of PF₃ and AsF₃ mols., for which microwave data on isotopic substituents are not available.

Molecular

2D-geometry

(41) □



C.A. 1980 G2 N6

PF₃

Lommel 8287 | 1979

Schmiedekamp A.
et al.

106. recx.

reactor
reactor

J. Amer. Chem. Soc.
1979; 101 (8), 2002-2010

OTT. N2 6 nanse



Hargittai

(eas. NH₃; ")

1979

PF₃

PCl₃

PBZ₃

Sivaramakrishnan T.R.

Acta Phys. Acad. [Sci.]
Phys., 1979, 5(1), 37-40

(unref). A force field study of
phosphorus trihalides.

C.A. 1979. GL n20 165693v.

PF₃

1980

Радченко Г. Т.

Докл. АН СССР, 1980,
254, № 4, 934-8

бумажосвязь
геометрии
и гомеом.
конусообразные



авт. NF₃-II

PF₃

Lammick 1989) 1980

Lee T.H., et al.

γ ; H₄₊
negative
charge.

J. Amer. Chem. Soc.,
1980, 102 (8), 2631-36.

PF_3

Lommick 10888 1980
Marynick Dennis S.

J. Chem. Phys., 1980, 73,
N8, 3939 - 3943.

M.R.; D.

● $(\text{cr. } \text{NF}_3) \tilde{\text{III}}$

PF_3

1980

Marynick D. S.

179th ACS Nat. Meet.

HO ,
pacem. Houston, Tex., 1980. Abstr.

Pap. Washington, D.C.,
S.A., 85.

(see. NF_3 ; III)

PF_3^+

1980

Zuev M. B., et al.

Dokl. Akad. Nauk SSSR
1980, 254(2), 396-400.

смесь
monокр.

смс. $\text{PH}_3^+ - \text{III}$

PFH PF₂H PF₃
2)

07T. 12856

1981

95: 157045c The inversion barriers of phosphine, fluoro-phosphine, disfluorophosphine, and trifluorophosphine. Boggs, James E.; Seida, David (Dep. Chem., Univ. Texas, Austin, TX 78712 USA). *J. Chem. Phys.* 1981, 75(7), 3645 (Eng). A polemic. The inversion barriers in the title mols. were reinvestigated. In spite of D. S. Marynicks (*ibid*, 1980, 73, 3339) argument to the contrary the authors still question the significance of a single determinant calen. for the planar state of PF₃ lying so far above the pyramidal ground state and having an excited electronic state known to be close above it. Hence precise value for the magnitude of the inversion barrier cannot be calcd.

V₀

C. A. 1981, 95, N18.

PF₃

Лоннук 12957 (

1981

γ, крист
св. эфта,
сопутств
св. эфу,
ан. нос.

Giulio F., et al.,
Z. phys. Chem. (BRD),
1981, 127, N1, 1-12.



(ав NF₃; III)

PF₃

Lommel 13124]

1981

Kb. Mex.
pacem

Figge H.P., Besckmans D.;
et al;

J. Chem. Soc. Faraday
Trans., 1981, Part 2,
77, 111, ● 2091-2103 -

PF₃

1981

Marcoert R.-D.

структура Speculations Sci.

Techrol. 1981, 4 (4),

367 - 374.

(eeer. N₄, P₄; III)

PF₃

Omnilex 15253

1982

Downs A. G., Faskill
F.P., et al.

LL
creamy
yellowish,
fatty.
Science,
Minerals.

Inorg. Chem., 1982, 21,
N 9, 3385-3393.

PF₃

1982

2Д70. Электрооптические параметры и полярные тензоры некоторых молекул типа XY₃. Electrooptical parameters and polar tensors of some XY₃ type molecules. Ramaswamy K., Balasubramanian R. «J. Mol. Struct.», 1982, 90, № 1—2, Suppl.: «Theochem», 7, № 1—2, 89—97 (англ.)

Рi, дипольные
молекулы

(43) 47

Для типов симметрии *a*₁ и *e* пирамидальных молекул с симметрией C_{3v} получены ф-лы, связывающие производные дипольного момента по норм. координатам $d\mu/dQ$ с дипольными моментами связей, их производными по длинам связей и с формами колебаний. Для типа *e* введена вращательная поправка. Для молекул XY₃ (X=P, N, Y=f, H) приводятся численные значения частот колебаний, интегральных ИК-интенсивностей, длин связей, валентных углов и вычисленных с помощью теоремы вирната форм колебаний в коор-

90 1983, 18, № 2

динатах симметрии. По этим данным вычислены $d\mu/dt$ и μ отдельных связей при всех возможных наборах знаков величин $d\mu/dQ$, найденных из интенсивностей. При наборах $+--+$ и $++-$ для двух частот a_1 , двух частот e молекул $\underline{\text{PF}_3}$, $\underline{\text{PH}_3}$, $\underline{\text{NF}_3}$ и $\underline{\text{NH}_3}$ достигнуто наилучшее согласие вычисленных и экспериментальных полных дипольных моментов, а также наиболее точно соблюдается правило сумм для интенсивностей. При сделанном выборе знаков рассчитаны полярные тензоры атомов X и Y .

М. А. Ковнер

Храп

PF₃

[Om. 16584]

1983

Masnick D., Roser D,
et al.,

Sarcoy
Wheeler

J. Mol. Struct., 1983,
94, N1-2, Suppl.
"Theo chem", 11, N1-2,
47-50.

PF_3^+

10m. 18055

1983

Neskovic O., Miletic M.,
et al.

(A.P)

J. Chem. Soc. Faraday
Trans., 1983, Pt 2, 79, N9,
● 1341-1346.

PF_3

1983

Xiao Shen-Xiu, Trogl-
ler William C., et al.

J, cupro-
neee

J. Amer. Chem. Soc., 1983,
105, N 24, c. 7033-7037.

(cav. $\text{P}(\text{CH}_3)_3$; II)

PF₃

(On. 20331) 1984

Grodzicki M., Walther H.,
Elbel Susanne.

Pomostekmp.

Chrekmpgi,
empykm.,
y, gundekm.
woulekm.

Z. Naturforsch., 1984,
B39, N 10, 1319 - 1330.

• (ca. NH₃; III)

1984

PF₃

14 Б1130. Колебательная автоионизация в PF₃. Нарушение правила преимущественности. Vibrational autoionization in PF₃: Doing violence to the propensity rule. Berkowitz J., Greene J. P. «J. Chem. Phys.», 1984, 81, № 10, 4328—4332 (англ.)

Измерен спектр фотоионизации молекул PF₃ в пороговой области (955—1090 Å). Источником излучения служил многолинейчатый псевдоконтинуум водорода, образующиеся ионы PF₃⁺ регистрировались квадрупольным масс-спектрометром. Наблюдались две прогрессии полос колебат. структуры, отличающиеся интенсивностью. Анализ результатов проведен совместно с данными по колебат. структуре первой полосы в фотоэлектронном спектре PF₃ и спектра фотопоглощения. Сделан вывод, что обе прогрессии связаны с автоионизацией ридберговских состояний, сходящихся к 1-му Пт ионизации молекулы (адиабатич. ПИ 11,57 эВ). Значения квантовых дефектов, n^* , и средних колебат. интервалов, \bar{v} , со-

спектр
фотоионизации,

Х. 1985, 19, N 14.

ставляют: более интенсивная 474,7 см^{-1} , менее интенсивная 478,4 см^{-1} . В отличие от предсказываемого теорией правила отбора по v для таких процессов ($\Delta v = -1$), автоионизация протекает с гораздо большей затратой колебательной энергии и наблюдаемые пики соответствуют $\Delta v \leq -13$ (до -22).

В. М. Ковба

PF_3

1984

Berkowitz J.; Greene J.P.,
et al.

Do,
 $J. Chem. Phys.$, 1984, 81,
N12, Pt2, 6166-6175.

(cell, NF_3^+ ; III)

PF_3

1984

Magnusson Eric.

Zeolemp., J. Comput. Chem.,
partem. 1984, 5, N6, 612-628.

(c.c. PH_3 ; \overline{III})

PF_3

1984

Marsden Colin J.

pac*ee*ū

J. Chem. Soc. Chem.

Comm. no*ee*ū,

Commun., 1984, N^Y,

401, result.,

401-402.

see *ee*ym.,

V_L ;

(see. PF_5 ; ii)

PF₃

1984

Parina N. S., Yakovlev

V. N., Kukushkin Yu. N.

Ap, meop. zh. Strukt. khim.
paerem.

1984, 25(5), 21-6.

(c.c. PR₃; III)

PF₃

Loc. 18842

1984

Xin M., Chow Chiu L.,
et al.

помощник
руков,
пачин. J. Electron Spectrosc.
and Relat. Phenom.,
1984, 33, N2, 93-105.

PF₃

[Om. 21413]

1985

Magnusson E.,

nonempirical, ab initio pacem

Austral. J. Chem., 1985, 38, N^o 1, 23-46.

PF_3

1986

Dixon D. A., Arduengo
A. J., et al.

cis/trans.

Hazeureux, J. Am. Chem. Soc.

meas.

1986, 108(9), 2461-2

paerem.

(cav. PH_3 ; ii)

PF₃

1986

15 Б1032. Уточненное исследование энергий ионизации тригалогенидов фосфора и азота. A refined study of the ionization energies of phosphorus and nitrogen trihalides. El-Issa Basheer D., Zanati Huda M. «J. Chem. Soc. Faraday Trans.», 1986, Pt 2, № 1, 93—99 (англ.)

Методом ССП-Х α рассеянных волн в приближении перекрывающихся сфер рассчитано электронное строение и потенциалы ионизации (ПИ) валентных МО молекул тригалогенидов РХ₃ и NX₃ (группа симметрии C_{3v}), X = F, Cl, Br. Расчеты проведены как без учета, так и с учетом d-гармоник на атомах Р и N в разложении волновых ф-ций по парц. волнам. Установлено, что учет d-ф-ций на атомах Р и N приводит к существенному уточнению ПИ и их разностей по сравнению с эксперим. ПИ.

И. А. Тополь

(15)

☒

X. 1986, 19, N 15.

PCl₃, PBr₃,
NF₃, NCl₃, NBr₃

PF_3

1987

Berckmans D.,
Figeyns H.P., et al.

ll. n.

J. Mol. Struct. Theo-
chem, 1987, 149, N 3-4;
243 - 257.

(c.c. NH_3 ; II)

PF₃

(OM-25419)

1987

Davies P. B., Morton -

UK

Jones A. J.

1987. Appl. Phys., 1987,
creepmech. B42, N1, 35-40.

(Cu. Cd; 111)

PF_3

1987

Dicor David A., Arde-
engo Anthony J. ^{III}.

Vol; J. Am. Chem. Soc. 1987,
109 (2), 338 - 41.

(c.c. PH_3 ; ^{II})

PF_3

1987

Fleming G. Diaz, Cyvin
S.J., et al.

M.N.

Spectrosc. Lett., 1987, 20,
N 11, 881 - 897.

(cen. AsH_3 ; II)

PF₃

(OM. 28756)

1987

Marsden C.J.,

Multi-
nozzle.

J. Chem. Phys., 1987, 87,
VII, 6626 - 6634.

PF₃

[om. 28927]

1988

Clotet A, Rubio J, Illas F,

УМВЕРСИОН.

Saptep,
ab initio
pacrem. J. Mol. Struct. (Theochem),
1988, 164, 351-361.

$F_3^+ Pt$

(PF_3^+)

Om. 30490

1988

Jacob M. E.,

T_i,

P_i;

g. Phys. and Chem. Ref.

Date, 1988, 17, N2, 408.

PF₃

(OM-29864)

1988

Lascola R., Withnall R.
et al.,

IK 8

Uampure J. Phys. Chem., 1988, 92,
N 8, 2145-2149.

PF_3

(DM 33746)

1990

Breidung J., Schneider W.,
Zelcermp., et al.,
Cuiob.
Hoornmaier, J. Mol. Spectrosc., 1990,
M.R., 140, N2, 226-236.
meop:
pcrem. The Anharmonic Force
Fields of $\bullet \text{PH}_3$, PHF_2 , PF_3 ,

PH_5 and H_3PO_4 .

PF_3

1990

Russ Stefańcik,
Grodzicki Michael.

w.n. Phys. Scr. 1990, 42,
N1. C. 58-64.

(ceel. GeF_4 ; II)

PF₃

1991

11 Б1145. Электронная структура трифторфосфина, исследованная методом фотоэлектронной спектроскопии с варьируемой энергией фотонов. The electronic structure of trifluorophosphine studied by photoelectron spectroscopy with variable photon energy. / Green Jennifer C., Kaltsoyannis Nikolas, Hung Kong, MacDonald Michael A. // J. Chem. Soc. Dalton Trans.— 1991.— № 9.— С. 2371—2375.— Англ.

М.Н.

Измерен фотоэлектронный спектр (ФЭС) PF_3 , возбуждаемый синхротронным источником излучения с энергией фотонов от 30 до 95 эВ. Положение (в эВ) и отнесение (конечное состояние иона) полос в ФЭС PF_3 (симметрия молекулы C_{3v} , электронная конфигурация... $(6a_1)^2(4e)^4(7a_1)^2(5e)^4(1a_2)^2(6e)^4(8a_1)^2$, X^1A_1): 12,3 (2A_1) 15,9 (2E , 2A_2), 17,4 (2E), 18,5, (2A_1), 19,4 (2E_2), 22,6 (2A_1). Получены данные по относит. парциальным сечениям фотоионизации и коэф. ветвления для указанных полос в зависимости от энергии фотонов, а так-

Х.1992, №11

же сечений как ф-ции кинетич. энергии фотоэлектронов. На основании анализа этих результатов сделан вывод, что в случае нек-рых MO ($4e$, $5e$, $6e\ 1a_2$), счи-тавшихся ранее образованными исключительно $2p$ -АО фтора, значителен вклад $3p$ -АО фосфора. Это означает более высокую степень взаимодействия $3p$ -АО P и $2p$ -АО F, чем следовало из результатов теор. расчетов. Спектр PF₃ сравнивается с ФЭС Ni(PF₃)₄, измеренном при энергии фотонов 45 эВ. В частности, группа полос в ФЭС Ni(PF₃)₄, лежащих выше 15 эВ (15,97; 17,48; 19,42; 22,40 эВ), является аналогом соотв. группы по-лос в ФЭС PF₃, связанных с ионизацией MO $6e+1a_2$, $5e$, $4e+7a_1$, $6a_1$. Для орбиталей Ni(PR₃)₄, базирующихся на MO 5e PF₃, отмечен вклад $3d$ -АО Ni. Отнесение остальных полос в ФЭС (PF₃)₄: 9,69 эВ, $2t_2$ (Ni 3d), 10,74 эВ, $1e$ (Ni 3d), 13,17 эВ, $1t_2$ (Ni—P), 14,65 эВ, a_1 (Ni—P).

Б. М. Ковба



PF₃

1991

115: 193057y The electronic structure of trifluorophosphine studied by photoelectron spectroscopy with variable photon energy. Green, Jennifer C.; Kaltsoyannis, Nikolas; Sze, Kong Hung; MacDonald, Michael A. (Inorg. Chem. Lab., Oxford, UK OX1 3QR). *J. Chem. Soc., Dalton Trans.* 1991, (9), 2371-5 (Eng). The photoelectron spectrum of PF₃ was measured using synchrotron radiation. Relative partial photoionization cross-section and branching ratio data are reported for the valence bands (8-24 eV) over the photon-energy range 30-95 eV. MOs regarded previously as purely F lone pair in compn. have significant P 3p character. Comparison of the results obtained on PF₃ with those obtained previously on [Ni(PF₃)₄] shows that the complex MOs of the latter derived from the 5e orbitals of PF₃ have some Ni 3d character. Metal-to-P back donation, proposed to occur through the 7e PF₃ MOs, is thus shown also to involve the 5e.

ll·n

c.A.1991, 115, n18

$\text{PF}_3 \cdot \text{H}_2\text{O}$

дн 36113

1991

24 Б1350. Микроволновый спектр, структура и дипольный момент комплекса трифторид фосфора — вода.
Microwave spectrum, structure, and dipole moment of the phosphorus trifluoride-water complex / La barge M. S., Andrews A. M., TalebBendiab A., Hilfig (II) K. W., Kuczkowski R. L., Bohn R. K. // J. Phys. Chem.—1991.—95, № 9.—С. 3523—3527.—Англ.

На штарковском микроволновом (МВ) фурье-спектрометре с импульсным соплом в области частот 7,5—17,5 ГГц с точностью 4 кГц измерены врашат. спектры трех изотопомеров молек. комплекса трифторидфосфора — вода, $\text{PF}_3 \cdot \text{H}_2\text{O}$ (I), $\text{PF}_3 \cdot \text{D}_2\text{O}$ и $\text{PF}_3 \cdot \text{H}_2\text{DO}$, в основном колебат. состоянии. Анализ МВ-спектров выполнен с использованием гамильтониана Уотсона в S-редукции с учетом квартичного центробежного искажения, туннельного движения H(D) ядер и эффекта Штарка. Полный дипольный момент I равен μ , 2,325(7) D. Из полученных МВ-данных определена возможная структура комплекса, к-рая во многом подобна строению комплексов $\text{PF}_3 \cdot \text{Ag}$ и $\text{SO}_2 \cdot \text{H}_2\text{O}$. Расстояние от атома кислорода до центра масс PF_3 для I равно 3,25 Å.

С. Н. Мурзин

дн 1.

ж. 1991, № 24

PF_3^+

1991

15 Б1136. Энергетика и динамика диссоциативной фотоионизации PF_3 при 21,2 эВ. Energetics and dynamics in the dissociative photoionization of PF_3 at 21.2 eV /Reynolds David J., van Kleef Eddy H., Powis Ivan //J. Chem. Phys.—1991.—95, № 12.—С. 8895—8900.—Англ.

Импульсивным методом фотоэлектрон-фотоионных совпадений исследован диссоциативный распад первых пяти возбужденных электронных состояний ионов PF_3^+ , получающихся при фотоионизации (He I, 21,2 эВ) нейтр. молекул. Время-пролетные масс-спектры регистрировались с относит. запаздыванием при энергиях фотоэлектронов, соотв-щих различным областям фотоэлектронного спектра. В области полосы X наблюдались только ионы PF_3^+ , что указывает на стабильность иона в основном электронном состоянии к диссоциации. В остальных случаях (перекрывающиеся полосы A/B, D/E, полоса C) ионы PF_3^+ распадаются с образованием PF_2^+ , однако механизмы распада состояний динамически различны... Асимметрия

м.л.

X. 1993, N 15

полосы А/В свидетельствует о том, что как испускание фотозелектрона с образованием отталкивает состояния А иона, так и послед. внутримолек. диссоциация иона сильно анизотропные и скоррелированные процессы. Фрагментация в области полосы С протекает также быстро, но с более высоким порогом диссоциации. Состояния D и E характеризуются большими временами жизни.

В. М. Ковба



PF₃

OM 36909

1992

Геометрия,
коэффициенты
растворимости,
для интегр.,
авт. нод;
ab initio
pacrem.

Breidung J., Thiel W.,
J. Comput. Chem.,
1992, 13, № 2, 165-176.

PF₃ On. 36871 1992

8 Б1051. Силовые постоянные, константы кориолисова взаимодействия и особенности строения тригалогенидов фосфора, мышьяка и сурьмы /Ежов Ю. С. //Ж. физ. химии.—1992.—66 ,№ 12.—С. 3258—3263.—Рус.

Рассчитаны полные наборы постоянных гармонич. валентного силового поля молекул XГ₃ (X=P, As, Sb; Г=F, Cl, Br, I). Обсуждены зависимости силовой постоянной и средней энергии разрыва связи от межъядерного расстояния R (ХГ), а также зависимость постоянной кориолисова вз-вия ζ_3 от масс центр. и концевого атомов. Показано, что модель эффективных ядерных зарядов лишь качественно описывает силовое поле указанных молекул.

М.Н.



(111)

X. 1993, N8

PF₃

1992.

7 Б1016. Множественность маршрутов реакции инверсии PF₃. Multiplicity of the inversion reaction paths for PF₃ /Minyaev Ruslan M. //J. Mol. Struct. Theochem. —1992.—262.—С. 79—85.—Англ.

Неэмпирическим методом ССП МО ЛКАО с использованием базисного набора 6-31^ГФ исследована р-ция инверсии PF₃. Показано, что р-ция протекает через плоское Т-образное переходное состояние (ПС) с энергией активации 66,7 ккал/моль по трем эквивалентным маршрутам, что согласуется с принципом микроскопич. обратимости. Плоская структура симметрии D_{3h} лежит на 52,5 ккал/моль выше по энергии, чем ПС. Различие в маршрутах инверсии NH₃ и PF₃ объяснено сильным отталкиванием между атомом F и неподеленной парой электронов атома P.

М. В. Фраш

X. 1994, № 7

PF₃

1993

Л^х 1 Б1041. Множественность путей инверсии молекулы
PF₃ /Миняев Р. М. //Ж. структур. химии .—1993 .—34
№ 4 .—С. 24—28 .—Рус.

Л^в При помощи неэмпирич. метода в базисе ОСТ 3—21
ГФ рассчитаны пути инверсии молекулы трифтормосфи-
на PF₃. Показано, что р-ция инверсии молекулы трифтормос-
фина, проходящая через Т-образное переходное сос-
тояние, имеет три идентичных канала р-ции в отличие от
р-ции инверсии молекулы аммиака, к-рая имеет только
один канал.

М.Л.

X. 1994, № 1

PF_3

1993

120: 144701y Three equivalent gradient lines for the inversion path of PF_3 molecule. Minyaev, R. M. (Nauchno-Issled. Inst. Fiz. Org. Khim., Rostov-on Don, Russia). *Zh. Fiz. Khim.* 1993, 67(11), 2205-9 (Russ). All crit. points with rank ≤ 3 on the potential energy surface in the region between the two min. corresponding to the pyramidal (C_3v) structure of the PF_3 mol. were calcd. were calcd. using the Hartree-Fock method with the STO6-31G* basis. The reaction path for the pyramidal inversion in PF_3 consists of three equiv. (phys. indistinguishable) gradient lines, passing through three topomeric T-shaped transition structures, i. e. the inversion reaction proceeds simultaneously along three lines (channels that connect the two min.). This appears to be the first example of a chem. reaction that proceeds simultaneously along three reaction channels that start in one min. and end in another neighboring min.

(NcMethyl-
 ϕ -Ue)

c. A. 1994, 120, n/2

1993

PF₃

6 Б1009. Три эквивалентные градиентные линии пути
инверсии молекулы PF₃ /Миняев Р. М. //Ж. физ. химии
—1993.—67, № 11 :—С. 2205—2209.—Рус.

При помощи неэмпирич. метода в базисе ОСТ 6-31 ГФ*
рассчитаны все крит. точки с рангом $\leqslant 3$, находящиеся
на поверхности потенциальной энергии в области между
двумя минимумами, соотв-щие пирамидальной (C_{3v})
структуре молекулы PF₃. Показано, что реакц. путь пира-
мидальной инверсии в PF₃ состоит из трех эквивалентных
(физически неразличимых) градиентных линий, прохо-
дящих через три топомерных Т-образных переходных
структур, т. е. р-ция инверсии одновременно проходит
по трем линиям (каналам), соединяющим два минимума.
Предположено, что это первый пример хим. р-ции, про-
ходящей одновременно по трем реакц. каналам, выхо-
дящим из одного минимума и входящим в один и тот же
соседний минимум.

М.Н.

Х. 1994, № 6

PF₃

1993

118: 222262f High-resolution FTIR investigation of phosphorus trifluoride in the 300–550 cm⁻¹ region: the ground, v₂ = 1, and v₄ = 1 states. Najib, H.; Ben Sari-Zizi, N.; Buerger, H.; Rahner, A.; Halonen, L. (Fac. Sci., Univ. Mohammed V, Rabat, Morocco). *J. Mol. Spectrosc.* 1993, 159(1), 249–58 (Eng). The IR spectrum of PF₃ was studied at a resoln. of 3 × 10⁻³ cm⁻¹ in the 300–550 cm⁻¹ region. The ν₂ (ν_0 457.71577(3) cm⁻¹) and ν₄ bands (ν_0 347.08616(2) cm⁻¹) were analyzed, and improved J-dependent ground state parameters up to sextic terms were detd. A merge of the reported pure rotational data within the v₄ = 1 state and the rovibrational transitions yielded an accurate C₀ value, 0.159 9636(15) cm⁻¹, which was used to det. an improved r₀ structure, d(PF) 1.563230(10) Å and bond angle (FPF) 97.759(2)°. Parameters of the v₂ = 1 and v₄ = 1 excited states have been obtained by least squares fits, σ ≈ 3 × 10⁻⁴ cm⁻¹, of ca. 2500 rovibrational lines for each band. The sign of the strong q₄(+)⁺ resonance could be detd. unambiguously from the severe intensity perturbations governing the ν₄ bandshape.

UK CEXMS,

M.N.

C.A. 1993, 118, N22

PF_3^+ 1993

Rueede R., Troxler H.,
et.al:

Chem. Phys. Lett. 1993,
203 (5-6), 477-81.

(Do)

(cell. NH_3^+ ; II)

1993

PF_3

Singh Prem,
Dublisch R. K.

Indian J. Pure and
Appl. Phys. 1993. 31, N 3.
C. 1993-1994.

(c.c.r. BF_3 ; ii)

PF_3

1994

Mastruyukov V. S.,
Alcolea P. M. et al.

ab initio
pacem
re/x

THEOCHEM 1994, 110
(3), 261-7.

(crys. CH_2F_2 ; III)

PF_3

1994

121: 144274g Study of IR spectrum of pure trifluorophosphine.
Nabiev, Sh. Sh.; Khodzhiev, B. S. (Rossiisk. Nauchn. Tsentr.
•Kurchatov. Inst.", Russia). Vysokochist. Veshchestva 1994, (2),
33-7 (Russ). The IR spectra of PF_3 in the gas phase and in the
liquefied Kr soln. (the frequency range $4000\text{-}200 \text{ cm}^{-1}$) were studied.
The solv. of PF_3 in liq. Kr at the temp. $T_{\text{sol}} = 130 \text{ K}$ was measured.
The vibrational frequencies are identified, the integral absorption
coeffs. are defined.

(LK, Di)

C.A. 1994, 121, N 12

PF₃

1994

* 6 Б1197. Инфракрасная криоспектроскопия и анализ молекулярного состава трифтторида и оксотрифтторида фосфора /Набиев Ш. Ш., Хаджиев Б. С. //Ж. неорган. химии .—1994 .—39 ,№ 10 .—С. 1702—1709 .—Рус.

Исследованы ИК-спектры PF₃ и POF₃ в газ. фазе и р-рах сжиженных криптона и ксенона в диапазоне 4000—200 см⁻¹. Измерена р-римость PF₃ и POF₃ в жидк. криптоне и ксеноне при т-ре криорастворов 130 и 180 К соотв. Проведено отнесение колебат. частот, определены интегральные коэф. поглощения и константы ангармоничности. Исследована возможность количеств. анализа молек. примесей в трифтториде и оксотрифтториде фосфора с использованием метода ИК-криоспектроскопии.

д.л.

(h) 18

X.1995, N 6

PF₃

1995

123: 353385z Millimeter- and submillimeter-wave spectrum of PF₃: observation of K = 3 line splitting. Cotti, G.; Cludi, L.; Dore, L.; Cazzoli, G.; Drean, P. (Dip. Chimica "G. Ciamician", Univ. Bologna, 40126 Bologna, Italy). *J. Mol. Spectrosc.* 1995, 174(1), 78-84 (Eng). The millimeter- and submillimeter-wave spectrum of the ground and v₂ = 1 vibrational excited state of PF₃ has been obsd. and analyzed. A centrifugal distortion anal. of the spectra extended up to the octic terms allowed an accurate detn. of the spectroscopic consts. of both the ground and the v₂ excited states. The h₃ splitting const. has been also detd. for the first time as 0.24982(73) × 10⁻² Hz for the ground state and 0.26289(76) × 10⁻² Hz for the v₂ = 1 excited state.

M.M. CREEKAMP,

M.N.

C-A 1995, 123, N26

1996

F: PF3

P: 3

14Б1286. Исследование ИК-фурье-спектров высокого разрешения PF[3] в области 800-950 см⁻¹. Фундаментальные 'ню'[1] и 'ню'[3] и комбинационная 'ню'[2]+'ню'[4] полосы. High resolution FTIR study of PF[3] in the 800-950 cm⁻¹ region. The 'ню'[1] and 'ню'[3] fundamental and 'ню'[2]+'ню'[4] combination bands / Ben Sari-Zizi N., Burger H., Litz M., Najib H., Radtke J. [Journal of Molecular Spectroscopy] // J. Mol. Spectrosc. - 1996. - 177, N 1. - C. 46-57. - Англ.

Р22Х 1997

С высоким разрешением ('ЭКВИВ'2,5*10{-3} см{-1}) измерена и проанализирована вращательная структура полос 'ню'[1] (начало при 891,9405 см{-1}), 'ню'[3] (859,5441 см{-1}), 'ню'[2]+'ню'[4] (834,0557 см{-1}), а также полос 'ню'[2], 2'ню'[2]-'ню'[2], 'ню'[2]+'\рю'[4]-'ню'[4], 'ню'[2]+'\рю'[4]-'рю'[2] в ИК-спектре PF[3]. Рассмотрены проявления следующих резонансных взаимодействий с участием исследуемых колебательных уровней: кориолисовы x, y-резонансы в полосах 'ню'[1] и 'рю'[3], ангармонический резонанс между 'рю'[3] и 'рю'[2]+'\рю'[4] (результаты подтверждены данными неэмпирич. расчетов), q - резонанс. Для каждой из полос приведены значения рассчитанных спектроскопических характеристик. Равновесные геометрические параметры молекулы: $r[c](P-F)=1,56323$ Å, $\angle FPF=97,759^\circ$.

PF₂

(On 38962)

1996

инициатор
секунд

($\alpha B_2 \rightarrow X^2 B_1$)

Edmond P.F. Lee,
De-Chao Wang et al.,

J. Phys Chem., 1996,
100, 19795 - 19800

PROBLEMS
GO. C. POPA

1996

125: 96552e Computation of structures of phosphorus fluorides with ab initio and density functional methods. Jursic, Branko S. (Department of Chemistry, University of New Orleans, New Orleans, LA 70148 USA). THEOCHEM 1996, 365(1), 47-54 (Eng). Extensive ab initio and d. functional theory (DFT) calcns. were performed on phosphorous fluorides in order to obtain a reliable theor. model to reproduce their exptl. detd. structures and dissocn. energies. ROHF and MP2 were used as ab initio methods while from DFT calcns., a set of local, hybrid, and non-local methods were utilized. To assure a valid comparison, all calcns. were performed with 6-311G(d) as a middle-size basis set. Advantages and disadvantages of DFT methods for computation of these systems are presented.

ab initio
NAVEM

C. A. 1996, 125, n° 8

F: PF3

P: 3

18Б145. Изучение [распределения] электронной плотности для ВЗМО PH[3], PF[3] и P(CH[3])[3] методами спектроскопии углового момента электрона и квантово-химического расчета в приближениях Хартри - Фока, конфигурационного взаимодействия (в варианте MRSD-CI) и функционала плотности. Studies of the electron density in the highest occupied molecular orbitals of PH[3], PF[3] and P(CH[3])[3] by electron

momentum spectroscopy and Hartree-Fock, MRSD-CI and DFT calculations /
Rolke J., Brion C. E. // Chem. Phys. - 207, 1. - C. 173-192. - Англ.

PF₃

1996

125: 70469h High resolution FTIR study of PF₃ in the 800–950 cm⁻¹ region. The ν₁ and ν₃ fundamental and ν₂ + ν₄ combination bands. Sari-Zizi, N. Ben; Buerger, H.; Litz, M.; Najib, H.; Radtke, J. (Faculte des Sciences, Univ. Mohammed V, Rabat, Morocco). *J. Mol. Spectrosc.* 1996, 177(1), 46–57 (Eng). The FTIR spectrum of PF₃ was recorded in the 750–950 cm⁻¹ range covering the fundamentals ν₁ (891.940 5 cm⁻¹) and ν₃ (859.544 1 cm⁻¹) and the combination band ν₂ + ν₄ (834.055 7 cm⁻¹) with a resoln. of -2.5×10^{-3} cm⁻¹. Also, spectra of the 2ν₂, 2ν₂–ν₂, (ν₂ + ν₄) – ν₄, and (ν₂ + ν₄) – ν₂ bands were measured and analyzed. The vibrotational anal. of the ν₁ and ν₃ bands confirmed the presence of a Coriolis x, y resonance whose interaction parameter could be detd. exptl. A transition moment ration μ₁:μ₃ close to 0.7 was deduced from a band contour simulation for a neg. sign of the intensity perturbation μ₁ξ_{1,3}μ₃. Also, anharmonic resonance between ν₃ and ν₂ + ν₄ was established, the strength of which is in agreement with an interaction const. W₂₃₄ = 2.86 cm⁻¹ as suggested by ab initio calcns. More than 5000 rovibrational transitions belonging to ν₁, ν₃, and ν₂ + ν₄ were fitted together with all available pure rotational data, (Fit) of the IR data being 3.93×10^{-4} cm⁻¹. Q resonance within ν₃ induces an avoided crossing of the k₁ = 1, A⁺ with the k₁ = -2, A⁺ sublevel near J = 12. Its effects give rise to an irregular A₁A₂ splitting of P(PQR)₃ lines and the RQ_o branch near the crossing. The equil. rotational consts. B₀ and C₀.

*Pypbe
(UK creation)*

C.A. 1996, 12/5, N6

PF_3^+ ($\neq 109,0^\circ$) Tackett R.P., Knowles P.J. 1996

PF_3^+ ($\neq 97,5$). Chem. Phys. Lett., 1996, 261, 146,
смесь гибрид.
и ab initio па
некоторых ст.

$b(8a_1)^n p (n=4,5,6)$ Структура X^2A_1 соч. PF_3^+
заключается в гопледах.

Рис. 1. Соединение.
Барьерно-вок.

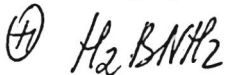


PF_3

1997

reference

126: 135921s Gradient Line Reaction Rotation in H_2BNH_2 and Inversion for Hindered Interactions M.; Wales, David J.; Walsh, Tiffany; PF_3 . Minyaev, Ruslan Organic Chemistry, Rostov State University Institute of Physical and 344090). *J. Phys. Chem. A* 1997, 101(7), Nov-on-Don, Russia Chemical Society. The potential energy surfaces (Eng), American the regions of the hindered internal rotation of NBH_2 and PF_3 in inversion in trifluorophosphine have been studied. Borane and the ent line (steepest-descent) reaction pathways of the gradient line reaction path for the aminoborane in terms of the gradient two equiv. paths sep'd. in configuration space; that the gradient path for the PF_3 inversion consists of three equivalent paths. Hence, the aminoborane internal rotation and the AF_3 line reaction inversion are fundamentally multidimensional problems. Hence, (Sb, As, Bi)



(notexix: amines
hydrides)

C.A. 1997, 126, N 10

PF₃

1997

127: 300505q Study of the $\nu_4 = 2$ and $\nu_4 = 3$ states of PF₃ by high resolution infrared spectroscopy. Badaoui, M.; Sari-Zizi, N. Ben; Najib, H.; Graner, G. (Laboratoire de Spectrométrie Physique Appliquée, Faculté des Sciences, Université Mohammed V, Rabat-Agdal, Maroc 1014). *J. Mol. Spectrosc.* 1997, 184(2), 318-329 (Eng), Academic. To study the $\nu_4 = 2$ and $\nu_4 = 3$ states of PF₃, two high resoln. ($\sim 3 \times 10^{-3} \text{ cm}^{-1}$) IR spectra were used. In the 14 μm region, $2\nu_4^0$ and the hot band $3\nu_4^{\pm 1} - \nu_4^{\pm 1}$ could be analyzed but the $2\nu_4^{\pm 2}$ and $3\nu_4^{\pm 3} - \nu_4^{\pm 1}$ bands were not obsd. Among the hot bands of ν_4 at 28 μm , however, the hot bands $2\nu_4^{\pm 2} - \nu_4^{\pm 1}$ and $3\nu_4^{\pm 3} - 2\nu_4^{\pm 2}$ could be identified. Altogether 1166 transitions of $2\nu_4^0$ and 198 energy deduced $2\nu_4^{\pm 2} - \nu_4^{\pm 1}$ were fitted to a model taking into account the l(2,2) interaction between the $\nu_4 = 2^0$ and $\nu_4 = 2^{\pm 2}$ states. Five microwave transitions were also included in the fit. A std. deviation of $0.241 \times 10^{-3} \text{ cm}^{-1}$ was obtained. A similar model for $\nu_4 = 3$ implying l(2,2) interaction terms between $\nu_4 = 3^{\pm 1}$ and $3^{\pm 3}$ as well as between $3^{\pm 1}$ was used to fit 491 energy levels of $\nu_4 = 3^{\pm 1}$ and 97 of $\nu_4 = 3^{\pm 3}$. These were deduced from hot bands; six microwave transitions were also included in the fit, which gave a std. deviation $\sigma = 1.201 \times 10^{-3} \text{ cm}^{-1}$. The anharmonic consts. deduced from the exptl. band centers $(2\nu_4^0)_0 = 692.84694(3) \text{ cm}^{-1}$ and $(3\nu_4^{\pm 1})_0 = 692.84694(3) \text{ cm}^{-1}$ and $(3\nu_4^{\pm 1})_0 = 1039.0697(3) \text{ cm}^{-1}$ are $x_{44} = -0.2154 \text{ cm}^{-1}$ and $g_{44} = 0.4474 \text{ cm}^{-1}$. The exptl. band centers $(2\nu_4^{\pm 2})_0 = 694.695 \text{ cm}^{-1}$ and $(3\nu_4^{\pm 1})_0 = 1042.633 \text{ cm}^{-1}$ are in fair agreement with the predictions from ν_4 and the above-mentioned anharmonic consts.

(Di, lk)

C. A. 1997 127
N 21 /

PF_3

PF_3^+

CMP-RA

$\nu_1 V_0$,

racem

C.A. 1997, 127, N 14

On 38811

1997

127: 195721g On the geometry and inversion process of PF_3^- ($X^2\text{A}_1$). Creve, Steven; Nguyen, Minh Tho (University of Leuven, Department of Chemistry, Celestijnenlaan 200F, B-3001 Louvain, Belg.). *Chem. Phys. Lett.* 1997, 273(3,4), 199–204 (Eng), Elsevier. Geometries of PF_3 , PF_3^- and the resp. energy barriers to inversion are calc'd. using both MO (MP2, QCISD(T) and CISD) and DFT (B3LYP) methods. Various points on the potential energy surfaces are explored by means of vibrational analyses. Similar to the neutral species, PF_3^- has, in its ground state $X^2\text{A}_1$, a pyramidal geometry and undergoes inversion following an edge-inversion mechanism through T-shaped C_{2v} structures. Our calcns. suggest the barrier heights are 225 kJ/mol for PF_3 and 168 kJ/mol for PF_3^- . Although these barriers to inversion are significantly smaller than those recently reported in the literature, the barrier of PF_3^- is still greater than the value of the ν_2 frequency of this cation, supporting its pyramidal character.

PF_3^+ , PF_3^- 1998
Dieguez, Ch., et al.

Pi
ab initio, J. Chem. Phys. 1998,
108 (20), 8381 - 93

(all. PF_4^+ ;  III)

PF₃

1998

130: 58652h Inner-shell excitation of PF₃, PCl₃, PCl₂CF₃, OPF₃ and SPF₃. Part I. Spectroscopy. Neville, John J.; Jurgensen, A.; Cavell, R. G.; Kosugi, N.; Hitchcock, A. P. (Department of Chemistry, McMaster University, Hamilton, ON Can. L8S 4M1). *Chem. Phys.* 1998, 238(2), 201–220 (Eng), Elsevier Science B.V.. Total ion yield spectra of PF₃, PCl₃, PCl₂CF₃, OPF₃ and SPF₃ were recorded in the region of P 2p, P 2s, S 2p, S 2s and halogen (Cl 2p, F 1s) excitation using synchrotron radiation. The P 2p spectra are interpreted with GSCF3 ab initio CI calcns. optimized for core excitation studies. The exptl.–theor. comparison is based on both abs. intensities (oscillator strengths) and transition energies. The calcns. indicate that several of the discrete states (e.g., that in PF₃ at 136.5 eV) are best described as LS–coupled states because the core–valence electron exchange is very large and thus the singlet–

(CNEKMP)
⑦4

C.A. 1999, 130, v5

triplet splitting is larger than the spin-orbit splitting. While the state at 136.5 eV in PF_3 is particularly notable, analogous P 2p excited states with large singlet-triplet splittings are calcd. in PCl_3 , PCl_2CF_3 , OPF_3 and SPF_3 . Aspects of partial ion yield measurements (particularly the PF_3^+ yield of PF_3 and the SPF_3^+ yield of SPF_3) support this interpretation by revealing isolated single states without a corresponding partner at the spin-orbit splitting. The partial ion yields help clarify spectral interpretation by removing interference from overlap with adjacent states having the normal (j,j)-coupled ion core character.

PF₃

1998

129: 142025t High-resolution FTIR study of the ($\nu_3 + \nu_4$, $\nu_1 + \nu_4$) interacting system of rovibrational bands of PF₃ between 1100 and 1300 cm⁻¹. Sari-Zizi, N. Ben; Najib, H.; Sebihi, R.; Pracna, P. (Laboratoire Spectrométrie Physique Appliquée, Faculté Sciences, Université Mohammed V, Rabat, Morocco 1014). *J. Mol. Spectrosc.* 1998, 190(1), 15–27 (Eng), Academic Press. With a resoln. of 4.4×10^{-3} cm⁻¹, the authors were able to identify in this range the very weak $\nu_2 + 2\nu_4^0$ (A₁) component near 1180 cm⁻¹, the $\nu_3 - \nu_4$ band around 1205 cm⁻¹ with its (A₁ + A₂) and E very intermixed components, and the $\nu_1 + \nu_4$ (E) band centered at 1238 cm⁻¹. Three thousand six hundred transitions belonging to the ($\nu_3 + \nu_4$, $\nu_1 - \nu_4$) interacting system were fitted together with a model taking into account l(2, 2) interactions inside $\nu_1 + \nu_4$ (A₁ + A₂), and the Coriolis interactions between $\nu_1 + \nu_4$ and $\nu_3 + \nu_4$ (A₁ + A₂) on one hand and between $\nu_2 + \nu_4$ and $\nu_3 + \nu_4$ (E) on the other. Four available MW transitions were also included in the fit. A root-

(CNEKMP)

C.A. 1998, 129, NII

mean-square of $0.76 \times 10^{-3} \text{ cm}^{-1}$ was obtained with 34 free parameters among 38. Normally the Fermi resonance, which links ν_3 to $\nu_2 + \nu_4$ with a coupling term $W_{234} = 2.86 \text{ cm}^{-1}$, must connect each component of $\nu_3 + \nu_4$ with each component of $\nu_2 + 2\nu_4$. But since the authors have only little exptl. information about the weak $\nu_2 + 2\nu_4^0$ component (120 assigned lines) and none about the dark $\nu_2 + 2\nu_4^{\pm 2}$ component, it was not possible to introduce this resonance in the fit. However, the band centers' shifts were calcd. since the basic coupling term W_{234} and the anharmonic const. x_{24} are known. Therefore, according to this approxn., the very sensitive anharmonic consts. x_{34} and g_{34} could be deduced. Of course the x_{14} Fermi-independent const., derived directly from the $(\nu_1 + \nu_3)^0$ band center given by the fit, was certainly more accurate. (c) 1998 Academic Press.

1999

F: PF3

P: 3

132:56388 Molecular-field splitting and
vibrational structure in the phosphorus 2p
photoelectron spectrum of PF3. Borve, Knut J.
Saethre, Leif J.; Bozek, John D.; True, Jan; Thomas,
T. Darrah Department of Chemistry, University of
Bergen Bergen N-5007, Norway J. Chem. Phys.,
111(10), 4472-4477 (English) 1999 The exptl. P 2p
spectrum of PF3 shows vibrational structure
corresponding to the sym. P-F stretching mode, with a
fundamental frequency of 121.7 meV. The spectrum

C.A.2000, 132

shows that the 2p_{3/2} peak is a doublet split by 146 meV. This mol.-field splitting arises because the anisotropic mol. environment lifts the 3-fold degeneracy of the 2p orbitals. The obsd. vibrational structure is compared with that predicted by theory, either treating the core hole explicitly or using the equiv.-cores approxn. to simulate the effects of the core hole. Ab initio calcns. of the mol.-field splitting that include core- valence electron correlation predict a value in good agreement with the exptl. value.

F: PF3

P: 3

1999

132:16588 Symmetry-broken inversion structures
for Group 15 EX3 halides. Schwerdtfeger, Peter;
Hunt, Patricia Department of Chemistry, The
University of Auckland Auckland, N. Z. Adv.
Mol. Struct. Res., 5, 223-262 (English) 1999 A review
with 79 refs. The inversion process of EX3 Group 15
hydrides and halides is reviewed. All Group 15
hydrides EH₃ and N halides NX₃ inv through the
classical D_{3h} trigonal planar transition state. For
the heav halides, however, the a₂ HOMO can
interchange with the a₁ LUMO as pointed in 1980 by
Marynick. Consequently, a low lying 1E' excited
state can cou with the 1A₁' ground state to undergo
an e' 2nd-order Jahn-Teller (SOJT) distortion to a
lower lying C_{2v} inversion transition state. Hence,
for t heavier Group 15 halides the Dixon-Arduengo

C. A. 2000, 132

edge inversion process through T-shaped transition state is preferred. The potential energy surface (PE) for these compds. is analyzed. For PF₃, AsF₃, SbF₃, and BiF₃ at the Hart Fock level the symmetry breaking occurs immediately upon distortion from C_{3v} min. towards the D_{3h} point of the PES. Different topologies around t sym. D_{3h} point are possible in the planar EX₃ arrangement, which connect T- and Y-shaped C_{2v} structures. If e'-SOJT symmetry breaking occurs, the topologies can be derived from either a Mexican hat or a monkey saddle. the high-energy D_{3h} point often cannot be described in a satisfactorily w by single-ref. methods. CASSCF calcns. show significant mixts. between 2 configurations of 1A_{1'} symmetry, 1 which is described by a₂a₁'0 and deno as D_{3h}(a₂) and the 2nd configuration by a₂0a₁'2 and denoted as D_{3h}(a₁')). Electron correlation effects are therefore important for the accurate det of the inversion barrier. For mols. with large configuration mixing (PCl, PBr₃, and PI₃) a definite decision on the symmetry of the inversion struc cannot be made without higher level calcns. For the Bi halides the e'-SO distortion is small despite the energetically more favored D_{3h}(a₁') configuration. For these mols. the PES connecting the planar structures very shallow and a definite decision on the symmetry of the inversion transition state cannot be made. The question whether or not a mol. deco before it inverts is addressed. Common models for the inversion mechanis and bonding for the EX₃ compds. are critically analyzed. Structures, vibrational

F: PF3

P: 3

132:172707 High-resolution FTIR study of the
.nu.1+.nu.2 combination band PF3 around 1380 cm⁻¹.

Ben Sari-Zizi, N.; Najib, H.; Sebihi, R.;
Badaoui, Faculte des Sciences, Laboratoire de
Spectronomie Physique Appliquee, Universite Mohammed V
Rabat, Agdal, Morocco J. Mol. Struct., 517-518,
79-89 (English) 2000 The .nu.1+.nu.2 (A1,
1377.75 cm⁻¹) parallel combination band of PF3 was
studied with high resoln. (4.4 .times. 10⁻³ cm⁻¹). This
band is isolated the spectrum and provided 1794 IR
transitions assigned with Jmax = 52 and Kmax = 43. A
perturbation-free model gave a std. deviation (sd) of

C.A.2000, 132

0.96 .times. 10^{-3} cm $^{-1}$ for 1457 non zero-weighted lines with the J-dependent parameters slightly differing from those expected from .nu.1 and .nu.2 fundamental bands.

A model including the Coriolis interaction with the u levels of the unobserved .nu.2+.nu.3 (E,

1345.44 cm $^{-1}$) band reduced the s 0.55 .times. 10^{-3} cm $^{-1}$ and improved the .nu.1+.nu.2 parameters. In this the authors had to constrain almost all .nu.2+.nu.3 parameters to the val obtained from the results of the .nu.2 and .nu.3 fundamental bands includ the coupling terms, not only those of the Coriolis but also those of the l(2,2) and l(2,-1) resonances connecting the 2 1 sublevels of .nu.2+.nu.3 .1. The Fermi resonance linking the upper levels of .nu.2+.nu.3 and 2.nu.2+.nu.4 (E,

1321.44 cm $^{-1}$) has to be taken into account to det. x23 = 2.175 cm $^{-1}$ while the anharmonic const. x12 = -1.9025 cm $^{-1}$ was directly obtained. The presently available anharmonic consts. of PF3 are compiled some of them are used to explain 2 obsd. hot band features.

PF₃

DM 40297

2240

Thiessen E., Coslou G.,
Drean P. et al.,

J. Mol. Struct. 2000,
577 - 578, 91-103-

radiofrequency, centimeters,

millimeter- and submillimeter-
wave spectra of PF₃ in the
 $D_4 = 1$ vibrational state.

F: PF3

P: 3

134:372013 Density Functional Studies on the Lone Pair Effect of the Trivalent Group (V) Elements: I. Electronic Structure, Vibronic Coupling, and Chemical Criteria for the Occurrence of Lone Pair Distortions in AX₃ Molecules (A=N to Bi; X=H, and F to I). Atanasov, M.; Reinen, D. Fachbereich Chemie, Philipps-Universitaet und Zentrum fuer Materialwissenschaften, Marburg, Germany. J. Phys. Chem. A (2001), 105(22), 5450-5467. in English.

The energetic, steric, and bonding properties of mols. AX₃ (A = N to Bi; X = H, F to I) are analyzed using d. functional theory. It is found that the "lone pair" in the initial D_{3h} geometry is of central atom p_z character for the NX₃ and AH₃ mols., whereas it possesses s symmetry in all other cases - here generally with a strong delocalization toward the ligands. The stabilization of the distorted C_{3v} geometry is due mainly to covalency effects, whereas steric interaction forces according to the Gillespie-Nyholm model do not seem to play a significant role. The application of the conventional vibronic pseudo Jahn-Teller coupling

2001

approach (PJT), here for the D_{3h}→C_{3v} transition [A_{1'}⊗(α_{2''} + α_{1'})⊗A_{2''} interaction], is an appropriate means for inorg. chemists to predict trends for the extent of distortion and for the corresponding energy gain. The vibronic coupling consts. and the vibronic stabilization energies, which mainly det. the total D_{3h}→C_{3v} energy gain, vary according to the sequences F > H > Cl > Br > I (A: N to Bi), and N > P > As > Sb > Bi (X: H,F), the dependence on A being only small or not present (X:Cl to I). Thus, the hardest mols. are the most susceptible to vibronic coupling, the latter energy being approx. imaged by the hardness difference $\eta(C_{3v}) - \eta(D_{3h})$. A roughly inverse trend is obsd. if the extent of the angular distortion $\tau\alpha$ from D_{3h} to C_{3v} symmetry is considered; here, the softest mols. such as Sb(Bi)Br₃ exhibit the largest and NH₃ the smallest deviations from D_{3h} geometry. The different sequences for $\tau\alpha$ are due to the strong influence of the force const., which represents the C_{3v}→D_{3h} restoring energy. It is remarkable that the vibronic coupling energy is strongly correlated with the chem. hardness η (an observable quantity), while the stabilization energy for the D_{3h}→C_{3v} transition is not directly reflected by η , in contrast to what is generally called the "principle of max. hardness".

PF₃

See, Ronald F; et al.²⁰⁰¹

cnp-pa,
neopen-
pacem

J. Am. Chem. Soc.,
2001, 123(12), 2839-48

(all • NH₃; III)